

Hochschule für Angewandte Wissenschaften Hamburg, Fakultät Life Science

Bachelorarbeit

FreeRTOS Implementierung auf einem SAMD21 zur Steuerung eines Fingermodels mittels EMG-Signal

Vorgelegt von

Bhima Benjamin Nohl

Studiengang: Medizintechnik B.Sc.

Erstprüferin: Prof. Dr. Petra Margaritoff

Zweitprüfer: Dr. Jan Dieckhoff

Eidesstattliche Erklärung

Ich versichere hiermit, dass ich die vorliegende Bachelorarbeit selbstständig und ohne fremde
Hilfe verfasst habe. Die von mir verwendeten Quellen und Hilfsmittel sind angegeben.

Wörtlich und inhaltlich entnommene Stellen wurden als solche kenntlich gemacht.

Datum: 14.01.2025 Unterschrift:

Danksagung

Ich bedanke mich bei Frau Prof. Dr. Petra Margaritoff und Herrn Dr. Jan Dieckhoff für die Bereitstellung des Themas, sowie für die gute Betreuung und das wertvolle Feedback während der Verfassung dieser Abschlussarbeit.

Besonderer Dank gilt Sneha Dhople.

Abstract

Für die Entwicklung echtzeitfähiger Systeme kann die Open-Source-Software FreeRTOS verwendet werden. Sie ermöglicht die Umsetzung von zeitbasierten Anforderungen in eingebetteten Systemen. Im Rahmen dieser Arbeit wurde das Brick'N'Knowledge-Bio-Feedback-Set genutzt, welches ein Arduino MKR WiFi 1010 Board verwendet. Das Set enthält elektrische Baukomponenten zur Aufnahme und Verarbeitung von Biosignalen. Das Ziel der Arbeit war die Implementierung von FreeRTOS auf dem SAMD21, sowie die Entwicklung eines Projekts, bei dem ein Fingermodel durch eine EMG-Messung gesteuert wird. Dabei wurden die Herausforderungen bei der Ressourcenverwaltung, der Synchronisierung von Tasks und der Einhaltung von Echtzeitanforderungen untersucht und analysiert.

Abkürzungsverzeichnis

CPU Central Processing Unit

PWM Pulsweitenmodulation

SPI Serial Peripheral Interface

CS Chip Select

SS Slave Select

MISO Master-Input/Slave-Input

MOSI Master-Output/Slave-Input

SCLK Serial Clock

CPOL Clock Polarity

CPHA Clock Phase

API Application Programming Interface

FIFO First-In, First-Out

ISR Interrupt Service Routine

EMG Elektromyografie

sEMG Surface-Electromyogram

DC Direct Current

CMR Common-Mode-Rejection

CMRR Common-Mode-Rejection-Rate

Ag/AgCl Silber-Silberchlorid

RTOS Real Time OperatingSystem

EKG Elektrokardiogramm

EEG Elektroenzephalogramm

AD-Wandler Analog-Digital-Wandler

SPS Samples pro Sekunde

Inhaltsverzeichnis

E	idessta	ttliche Erklärung	I
D	anksag	gung	11
Α	bstract		
A	bkürzu	ngsverzeichnis	IV
1	Einl	eitung	1
	1.1	Zielsetzung und Motivation	1
	1.2	Theoretische Grundlagen	
	1.2.1	•	
	1.2.2		
	1.2.3	FreeRTOS	4
	1.2.4		
2	Mat	erial und Methoden	10
	2.1	Material	10
	2.1.1	Brick'R'knowledge Set	10
	2.1.2	FreeRTOS (Version 10.2.1)	15
	2.1.3	Entwicklungswerkzeuge	19
	2.1.4	AVR Debugger	20
	2.2	Methoden	21
	2.2.1	Implementierung FreeRTOS auf dem SAMD21	21
	2.2.2	Entwicklung von Testprogrammen	23
	2.2.3	Steuern eines Aktuators per EMG-Messung	24
3	Erge	ebnisse	29
	3.1	Messungen der Testprogramme	29
	3.2	Steuerung des Aktuators per EMG-Messung	31
4	Disk	cussion	41
	4.1	Bewertung der Ergebnisse	41
	4.2	Implementierung und Entwicklung	42
	4.3	Ausblick	45
5	Lite	raturverzeichnis	47

6 Anhang50

1 Einleitung

1.1 Zielsetzung und Motivation

Das Ziel dieser Arbeit ist die Implementierung von FreeRTOS auf dem MKR WiFi 1010 in Verbindung mit dem Brick'N'Knowledge-Biofeedback-Set. Es soll ein echtzeitfähiges System aufgebaut werden, das einen Fingermodel mittels EMG-Messung steuert. Es soll eine Grundlage ermöglicht werden, um mit FreeRTOS neue Praktikumsversuche für das Mikroprozessortechnik-Praktikum des Elektroniklabors der HAW Hamburg zu entwickeln. Darüber hinaus bietet sie Ansätze zur Erweiterung des Systems, um zukünftige Projekte wie die Steuerung komplexerer Robotikanwendungen oder die Integration weiterer Biosignale umsetzen zu können.

1.2 Theoretische Grundlagen

In diesem Kapitel wird ein Einblick in Mikrocontroller und deren Kommunikation mit peripheren Geräten gegeben. Da EMG-Messungen eine zentrale Rolle in diesem Projekt spielen, wird der technische und physiologische Hintergrund hinter einer EMG-Messung erläutert, um die Funktionsweise und die Anforderungen an die Signalverarbeitung zu verdeutlichen. Zudem wird die Funktionsweise von FreeRTOS beleuchtet, um Aufschluss über seine Funktionalitäten und Potenziale für die Entwicklung echtzeitfähiger Anwendungen zu geben.

1.2.1 Mikrocontroller

Arduino-Boards mit integrierten Mikrocontrollern bieten eine Plattform für die Entwicklung kompakter Systeme. Ein Arduino-Board besteht aus mehreren Komponenten, die für die technische Spezifikation relevant sind. In Abbildung 1 ist ein Arduino UNO dargestellt. Der Mikrocontroller bildet das Herzstück des Boards. Er ist ein kompakter Integrierter Schaltkreis, der die zentrale Verarbeitungseinheit (CPU) sowie häufig den Arbeits- und Flash-Speicher enthält. Der Mikrocontroller verarbeitet Eingaben basierend auf dem gespeicherten Programm [1].

Ein Quarzoszillator wird verwendet, um dem Prozessor ein Taktsignal bereitzustellen, das die Rate bestimmt, mit der Befehle verarbeitet werden [1]. Viele Arduino-Boards besitzen eine USB-Schnittstelle, über die Code in den Speicher hochgeladen werden kann. Diese Schnittstelle ermöglicht auch Konsolenausgaben, die unter anderem das Debugging des Codes erleichtern. Ein USB-Interface-Chip dient hierbei als Kommunikationsbrücke zwischen

USB-Anschluss und dem Mikrocontroller. Über die digitalen und analogen Pins kann der Mikrocontroller mit externen Systemen kommunizieren. Die analogen Pins können nur als Eingänge genutzt werden, während die digitalen Pins sowohl als Eingänge als auch als Ausgänge verwendet werden können. Die Digitalpins, die mit einer Tilde (~) markiert sind, unterstützen Pulsweitenmodulation (PWM) [2].

Für den Betrieb benötigt das Board eine Spannungsversorgen, diese liegt beim Arduino Uno beispielsweise im Bereich von 6 V bis 20 V liegt [2]. Die Versorgungsspannung kann auf verschiedenen Wegen bereitgestellt werden. Das Pin-Interface besitzt in der Regel einen Pin, um das Board mit Spannung zu versorgen, dies kann mit einen Funktionsgenerator oder einer Batterie erfolgen. Das Board kann auch über den USB-Anschluss mit Spannung versorgt werden. Manche Boards besitzen zusätzlich einen separaten Stromanschluss.

Ein Reset-Knopf, der häufig auf dem Board installiert ist, ermöglicht das Zurücksetzen des Mikrocontrollers, indem ein Signal an dessen Reset-Pin gesendet wird, was einen Neustart des Programms auslöst. Zusätzlich sind häufig Kontroll-LEDs integriert, die blinken, wenn der Mikrocontroller Daten empfängt (RX) oder sendet (TX) [2]. Darüber hinaus ist auf vielen Boards eine programmierbare LED integriert, die mit einem der Digitalen Pins verbunden ist.



Abbildung 1: Arduino UNO Board Layout [3].

Arduino-Boards besitzen Eingänge und Ausgänge, die genutzt werden können, um eingehende Informationen in Ausgaben zu transformieren. Die Boards sind in verschiedene Familien unterteilt, deren Mikrocontroller auf unterschiedlichen Architekturen basieren. Diese unterscheiden sich unter anderem in ihrer Befehlssatzarchitektur, Speicherorganisation und verfügbaren Peripherieschnittstellen [4].

1.2.2 SPI-Interface

Das Serial Peripheral Interface (SPI) ist ein häufig verwendetes Protokoll für die Kommunikation zwischen Peripheriegeräten und Mikrocontrollern. Die Kommunikation basiert auf einem Master-Slave-System. Der Master ist das steuernde Gerät, das dem Slave Anweisungen gibt. Für die Kommunikation zwischen einem Master und einem Peripheriegerät sind vier Anschlüsse notwendig. Der Chip Select (CS), oder auch Slave Select (SS) genannt, schaltet die Leitung für den Slave frei, mit dem kommuniziert werden soll. Der Master-Input/Slave-Output (MISO) ist die Datenübertragungsleitung vom Slave zum Master. Umgekehrt ist der Master-Output/Slave-Input (MOSI), die Leitung mit der der Master Daten an den Slave überträgt. Über die Taktleitung (Serial Clock, SCLK) sendet der Master das Taktsignal, das die Datenübertragung zwischen den Geräten synchronisiert. Es existieren vier verschiedene SPI-Modi, mit dem die Polarität des Taktsignals im Leerlauf, sowie die Flanke, bei der die Daten abgetastet werden, definiert werden können [5].

In Abbildung 2 ist eine Datenübertragung dargestellt, bei der die *Clock Polarity* (CPOL) und *Clock Phase* (CPHA) auf 0 gesetzt sind. Dies bedeutet, dass die Taktpolarität im Leerlauf auf einer logischen Null liegt. Die Daten werden bei steigender Flanke abgetastet und bei fallender Flanke wird das Bitregister verschoben. Der CS wird in der Regel vor der Übertragung eines Datenpaketes von *HIGH* auf *LOW* gesetzt und nach Abschluss der Übertragung wieder von *LOW* auf *HIGH* gesetzt [5].

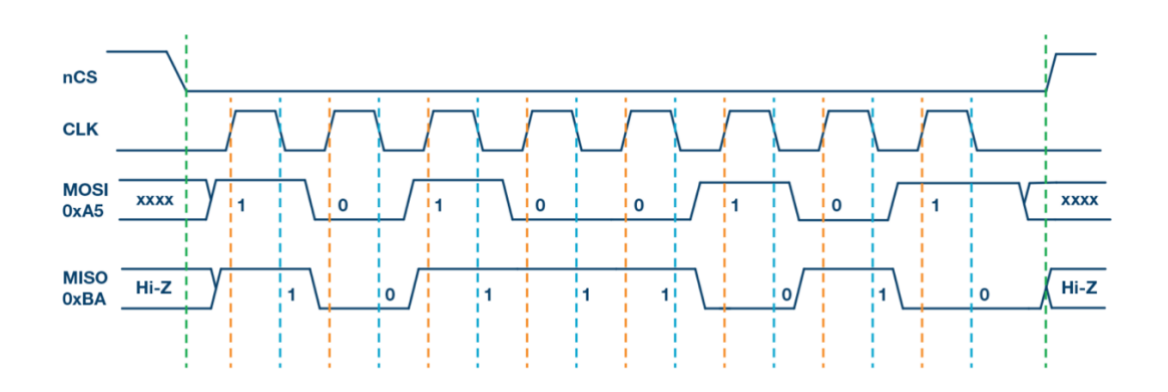


Abbildung 2: SPI-Datenübertragung im Modus CPOL = 0, CPHA =0 [5].

Wie in Abbildung 3 in dargestellt, können mehrere Peripherie-Geräte an dieselben SCLK-, MOSI- und MISO-Leitungen angeschlossen werden. Um die unterschiedlichen Geräte selektieren zu können, benötigt jeder *Slave* seine eigene CS-Leitung, die entsprechend auf *LOW* gesetzt wird, wenn das jeweilige Gerät angesprochen werden soll [5].

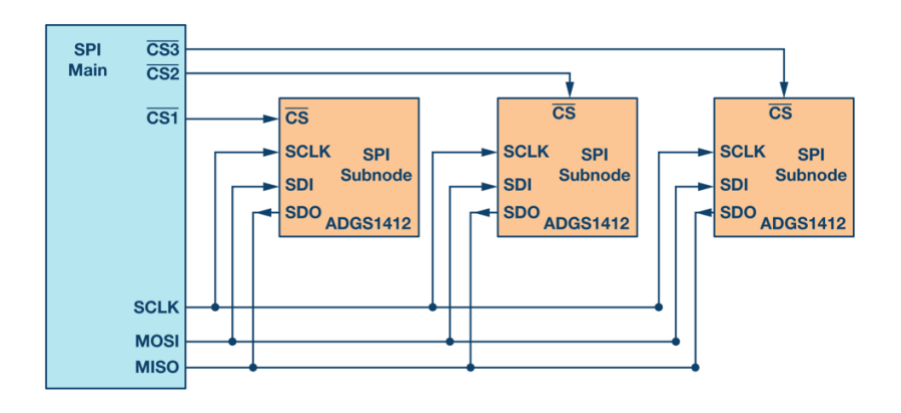


Abbildung 3: SPI-Konfiguration mit mehreren Geräten [5].

1.2.3 FreeRTOS

FreeRTOS wurde speziell für den Einsatz in eingebetteten Systemen entwickelt. Es handelt sich um ein Open-Source-Echtzeitbetriebssystem, das eine einfache Verwaltung von *Tasks* ermöglicht. Mit einer minimalen Speicheranforderung von nur wenigen Kilobytes, ist FreeRTOS für Mikrocontroller mit begrenztem Programmspeicher, wie dem SAMD21, geeignet. Es können Anforderungen an deterministische Reaktionen im Echtzeitsystem erfüllt werden, dadurch dass *Tasks* unabhängig von laufenden Prozessen innerhalb einer vordefinierten Zeit ausgeführt werden können [6].

Das Application Programming Interface (API) ermöglicht eine unkomplizierte und entwicklerfreundliche Implementierung von Tasks, Queues, Semaphoren und weiteren Funktionalitäten. Tasks können modular entwickelt und unabhängig getestet werden, wodurch die Entwicklung komplexer Echtzeitanwendungen effizienter gestaltet wird. Der Kernel von FreeRTOS ist in der Programmiersprache C geschrieben [6].

1.2.3.1 Tasks

Ein *Task* ist eine unabhängige Code-Einheit, die ähnlich wie ein *Thread* in anderen Betriebsystemen funktioniert. *Tasks* werden durch eine Funktion implementiert. Jeder *Task* muss eine Endlosschleife enthalten, da *Tasks* typischerweise kontinuierlich arbeiten, solange der Scheduler sie nicht beendet oder pausiert. Dies ist auch der Grund warum *Tasks* keine *return-Statements* enthalten dürfen [6].

Die Prioritätssteuerung der *Tasks* ist ein zentrales Konzept in Echtzeitbetriebssystemen. *Tasks* mit höherer Priorität verdrängen *Tasks* mit niedrigerer Priorität und erhalten bevorzugt Rechenzeit (präemptives *Scheduling*). Durch diese Mechanismen lassen sich zeitkritische Aufgaben zuverlässig umsetzen. Insgesamt ermöglicht die API zur *Task*-Erstellung und -

Verwaltung eine flexible und effiziente Nutzung der Systemressourcen, die sich präzise an die Anforderungen der Anwendung anpassen lassen [6].

Ein Task kann sich in einem von vier möglichen Zuständen befinden: Running State, Ready State, Blocked State und Suspended State. Ein Task im Running State wird aktuell von der CPU ausgeführt. Pro CPU-Kern kann sich zum selben Zeitpunkt immer nur ein Task im Running State befinden. Tasks im Ready State sind bereit zur Ausführung, warten jedoch darauf, dass die CPU verfügbar wird. Der Scheduler wählt den Task im Ready State aus, der die höchste Priorität besitzt und setzt ihn in den Running State. Ein Task befindet sich im Blocked State, wenn er auf ein bestimmtes Ereignis wartet. Beispiele für solche Ereignisse sind das Verstreichen einer definierten Verzögerungszeit (Delay), das Freigeben einer Semaphore oder das Eintreffen von Daten in eine Queue. Während ein Task im Blocked State ist, wird er nicht für die CPU-Zuweisung berücksichtigt. Ein Task im Suspended State wurde explizit angehalten und bleibt in diesem Zustand, bis dieser fortgesetzt wird. Dieser Zustand wird z.B. genutzt, um nicht benötigte Tasks temporär zu deaktivieren [6].

Jeder *Task* wird mit einer Priorität versehen, die eine Ganzzahl zwischen Null und einem in der Konfigurationsdatei definierten Maximum darstellt. Die Priorität Null stellt die niedrigste Priorität dar und wird in der Regel dem *Idle-Task* zugewiesen, der sicherstellt, dass immer mindestens ein *Task* ausgeführt wird, selbst wenn alle anderen *Tasks* blockiert oder angehalten sind. Seine Hauptaufgabe besteht darin, Kernel-Ressourcen freizugeben, z.B. den *Stack* von *Tasks*, die durch API-Funktionen gelöscht wurden. Zusätzlich kann der *Idle-Task* durch die Implementierung einer *Idle-Hook*-Funktion erweitert werden. Diese Funktion wird bei jeder Ausführung der *Idle-Task* aufgerufen und kann für spezifische Aufgaben genutzt werden, z. B. zum Energiemanagement oder zur Durchführung von Wartungsarbeiten innerhalb der Programmausführung. Durch die Integration der *Idle-Hook*-Funktion in die *Idle-Task* wird zusätzlicher *Overhead* vermieden, der durch die Erstellung eines separaten *Tasks* entstehen würde [6].

In Abbildung 4 ist ein Beispiel mit drei *Tasks* unterschiedlicher Priorität zu sehen. Die *Tasks* niederigerer Priorität werden von *Tasks* höherer Priorität verdrängt. Der *Idle-Task* wird kontinuierlich ausgeführt, falls kein anderer *Task* ausgeführt wird.

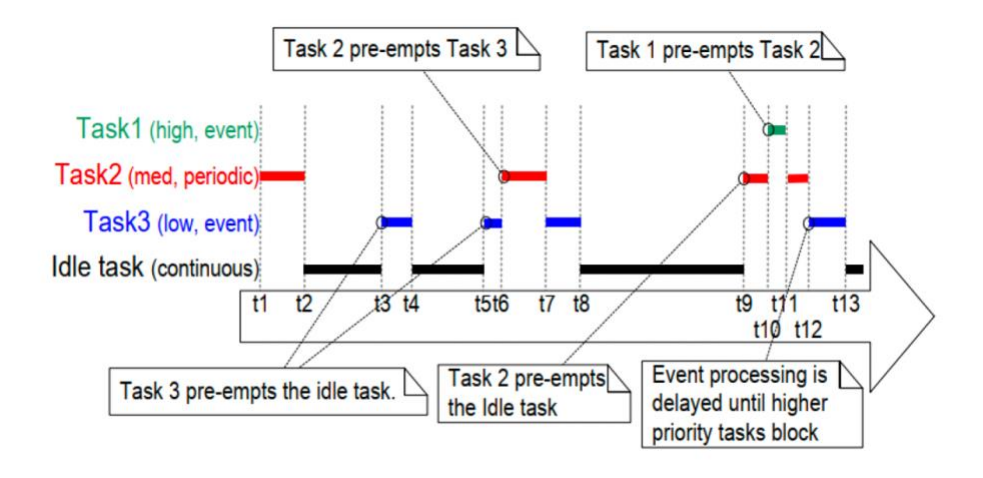


Abbildung 4: Zeitlicher Ablauf von Taskausführungen mit unterschiedlichen Prioritäten und preämptivem Scheduling [6].

Tasks mit derselben Priorität können beliebig oft erstellt werden. Wenn sich mehrere Tasks mit gleicher Priorität gleichzeitig im Ready State befinden, entscheidet der Scheduler mithilfe von Time Slicing, welcher Task als Nächstes ausgeführt wird [6]

Time Slicing ist ein Mechanismus, der die CPU-Rechenzeit gleichmäßig auf Tasks mit derselben Priorität verteilt. Nach Ablauf eines Time Slices wird ein Tick-Interrupt ausgelöst, wodurch der Scheduler zum nächsten Task im Ready State wechselt. Die Länge des Time Slices ist abhängig von der eingestellten Tickrate. Bei einer Tickrate von 1 kHz beträgt ein Time Slice beispielsweise1 ms. Nach jedem Time Slice werden die CPU-Register, der Program Counter und der Stack Pointer des aktuellen Tasks gesichert, und die Werte des neuen Tasks werden geladen, sodass dessen Ausführung fortgesetzt werden kann. Dieser Vorgang wird als Context Switch bezeichnet [6].

Time Slicing kann deaktiviert werden, indem der Scheduler in einen kooperativen Modus versetzt wird. In diesem Modus erfolgt ein Task-Wechsel gleicher Priorität nur, wenn der aktuell laufende Task dies explizit erlaubt [6].

1.2.3.2 Queues

Queues (Warteschlangen) bieten eine thread-sichere Methode, um Interprozesskommunikation zwischen Tasks zu ermöglichen. Die Datenstruktur einer Queue basiert auf dem FIFO-Prinzip (First-In, First-Out). Der sendende Task legt eine Variable in den Queue-Buffer. Diese Daten können von anderen Tasks gelesen werden. Eine Queue kann eine begrenzte Anzahl von Variablen aufnehmen, die bei der Erstellung der Queue festgelegt wird. Die Daten werden direkt in die Queue kopiert, anstatt nur einen Pointer auf die Daten zu

speichern. Dies hat den Vorteil, dass die Daten in der *Queue* sicher sind, selbst wenn die ursprüngliche Speicherstelle mit einem neuen Wert überschrieben wird. Beliebig viele *Tasks* können Daten in eine *Queue* schreiben oder Daten aus ihr lesen [6].

1.2.3.3 Interrupts

Wenn ein System auf äußere Signale reagieren soll, kann dies über einen *Interrupt* erfolgen. Dieser kann über eine Netzwerkschnittstelle oder einen einfachen Knopfdruck ausgelöst werden. Die meisten FreeRTOS-API-Funktionen können nicht außerhalb von *Tasks* aufgerufen werden, da diese vorrausetzen, dass der *Scheduler* läuft. Deshalb können diese ebenfalls nicht innerhalb einer *Interrupt Service Routine* (ISR) ausgeführt werden, weshalb FreeRTOS für viele API-Funktionen eine ISR-sichere Variante besitzt [6].

Eine ISR sollte möglichst kurz gehalten werden, während der Hauptteil der auszuführenden Aktion in einem *Task* verarbeitet wird. Dadurch stehen alle FreeRTOS-API-Funktionen uneingeschränkt zur Verfügung, die normalerweise innerhalb einer *Task* verwendet werden können. Um zu gewährleisten, dass der zugehörige *Handler-Task* unmittelbar nach der ISR ausgeführt wird, sollte dieser immer die höchste Priorität besitzen [6].

Um einen *Handler-Task*, nach einer ISR zu aktivieren, können binäre Semaphoren verwendet werden. Der *Handler-Task* wartet in diesem Fall auf eine Semaphore der ISR und wird nach deren Empfang ausgeführt. Ein erstelltes Semaphoren-*Handle* dient als Referenz, wenn die Semaphore gesendet oder übertragen wird [6].

1.2.3.4 Speicherverwaltung

FreeRTOS bietet verschiedene Möglichkeiten den *Heap*-Speicher zu verwalten. Die *Heap*-Größe wird in der Konfigurationsdatei festgelegt. Abhängig von der Anwendung kann ein geeigneter Algorithmus zur Speicherverwaltung gewählt werden. Der einfachste Algorithmus ist der *heap_1*-Algorithmus. Dieser reserviert Speicher für *Tasks* ausschließlich bevor der *Scheduler* gestartet wird. Dieser kann danach nicht mehr freigegeben werden. Ein *Array* wird in kleinere Blöcke aufgeteilt, in denen der *Stack* und der *Task Control Block* (TCB) der *Task* allokiert werden. Da der Speicher nur zu Beginn allokiert wird und keine Allokationen während des Programmverlaufes erfolgen, tritt keine Speicherfragmentierung auf. Diese Methode eignet sich jedoch nur, wenn keine dynamische Speicherallokation während des Programmverlaufes erforderlich ist.

Um dynamischen Speicher nutzen zu können, kann der heap_4-Algorithmus verwendet werden. Dieser nutzt den erstgrößten Speicherblock, der groß genug ist, um die angeforderten Daten zu Speichern. Speicherblöcke können freigegeben und neue Daten in freigewordenen Blöcke allokiert werden. Freie, nebeneinanderliegende Blöcke werden zu einem größeren Block zusammengeführt. Dadurch wird Speicherfragmentierung effektiv minimiert [6].

1.2.4 EMG

Zur Steuerung der Muskeln verwendet der Körper elektrische Signale, die durch lonentransport in den Muskelzellen erzeugt werden. Diese Signale, sogenannte Aktionspotenziale, werden entlang der efferenten motorischen Nervenfasern zur motorischen Endplatte der Muskelfasern geleitet. Dort wird der Neurotransmitter Acetylcholin (ACh) freigesetzt, der an ACh-gesteuerte Kationenkanäle auf der Muskelfasermembran bindet. Die Öffnung dieser Kanäle ermöglicht den Einstrom von Natriumionen in die Muskelfaser, was zu einer lokalen Depolarisation führt. Diese Depolarisation aktiviert spannungsgesteuerte Natriumkanäle und löst ein Aktionspotenzial an der Membran aus [7].

Das Aktionspotenzial breitet sich entlang der Membran aus und führt zur Freisetzung von Kalziumionen aus dem sarkoplasmatischen Retikulum (SR). Die erhöhten Kalziumkonzentrationen im Zytosol fördert die Interaktion zwischen Aktin- und Myosinfilamenten, was die Muskelkontraktion bewirkt. Nach der Kontraktion werden die Kalziumionen aktiv zurück in das SR zurückgepumpt, wodurch der Muskel entspannt, bis ein neues Aktionspotenzial ausgelöst wird [7].

Um die Depolarisation der Muskelaktivität zu messen, kann ein Elektromyografie (EMG) verwendet werden. Hierbei werden typischerweise Elektroden auf der Hautoberfläche angebracht, um die elektrische Aktivität der Muskeln zu erfassen. Ein Oberflächen-EMG-Signal (sEMG) liegt üblicherweise im Mikrovolt- bis niedrigen Millivolt-Bereich [8,9]. Mehrere Faktoren beeinflussen die Signalqualität, darunter der Abstand der Elektroden vom aktiven Muskelareal, Gewebebeschaffenheit (z.B. adipöses Gewebe oder Ödeme), die Intensität der Muskelkontraktion, die Qualität des Haut-Elektroden-Kontakts und die Eigenschaften des eingesetzten Verstärkers [8].

Um Signalvariabilität bei gleichen Messungen zu minimieren, sollte nach Möglichkeit stets derselbe Typ von Elektroden und Verstärker verwendet werden. Die Qualität des Haut-Elektroden-Kontakts spielt eine entscheidende Rolle für das Signal-Rausch-Verhältnis, da sie die Impedanz beeinflusst, welche relativ konstant gehalten werden sollte [9].

Das analoge EMG-Signal wird üblicherweise über einen Differentialverstärker aufgenommen. Typische Bandpassfiltereinstellungen für sEMG liegen zwischen 10–20 Hz (Hochpass) und 500–1000 Hz (Tiefpass) [9]. Der Hochpassfilter eliminiert Artefakte, die typischerweise unterhalb von 10 Hz liegen, während der Tiefpassfilter Signalaliasing und Rauschen reduziert, das durch hohe Frequenzanteile oberhalb der Abtastrate des Verstärkers entstehen könnte und somit das Nyquist-Theorem verletzen würde. Störungen durch Netzfrequenzkomponenten können durch einen Notch-Filter reduziert werden, allerdings besteht das Risiko, dass in diesem Frequenzbereich auch Nutzsignale verloren gehen [9].

Typische Verstärkungswerte liegen im Bereich von 100 bis 10.000 [9][10]. Die wichtigste Verstärkungsphase ist die Vorverstärkungsphase, da sie dem Eingangssignal am nächsten ist. Wichtige Kenngrößen hierbei sind eine hohe Eingangsimpedanz, Unterdrückung von Gleichstromsignalen (DC), hohe Gleichtaktunterdrückung (CMR) und die räumliche Nähe zwischen Signalquelle und Verstärker [10].

Durch eine bipolare Elektrodenanordnung werden Signale, die an beiden Elektroden anliegen, subtrahiert (Differenzbildung). Dies ermöglicht die Unterdrückung von Störsignalen, die an beiden Elektroden gleichermaßen auftreten, wie beispielsweise Netzspannung, Muskelaktivität aus weit entfernten Bereichen oder elektromagnetische Störungen [8]. Das Maß für die Fähigkeit, solche gemeinsamen Störsignale zu unterdrücken, ist das *Common Mode Rejection Ratio* (CMRR) [8]. Ein Beispiel ist der AD7177, der eine CMRR von 120 dB bei 50/60 Hz aufweist [11].

Die Impedanz bei EMG-Messungen auf der Hautoberfläche liegt typischerweise unter 50 k Ω [9]. Eine hohe Eingangsimpedanz des Verstärkers ist wichtig, um die Quelle nicht zu belasten, wodurch der Ladeeffekt minimiert wird und das gemessene Signal weniger verzerrt wird [9].

Eine Referenzelektrode wird eingesetzt werden, um Störströme abzuleiten [12]. Die Erdungselektrode ist dabei in der Regel mit der Masse der Schaltung verbunden und dient als Nullpunkt, um die Potentialdifferenzen der EMG-Elektroden zu messen[13]. Sie wird meist auf der Haut über einem knöchernen Bereich platziert, der wenig Muskelaktivität aufweist, wie zum Beispiel an der Stirn oder am Ellenbogen [14].

EMG-Elektroden besitzen häufig eine mit Gel beschichtete Oberfläche, die als Schnittstelle zwischen Haut und Elektrode dient. Als Elektrolyt im Gel wird häufig Silber-Silberchlorid (Ag/AgCl) verwendet. Dieses Material hat ein geringes Halbzellenpotential von 220 mV und ist nicht polarisiert. Durch Ag/AgCl können Elektronen zwischen Elektrode und Elektrolyt fließen. Bei 10 Hz und gutem Hautkontakt besitzen EMG-Elektroden in der Regel eine Impedanz von ca. 5 k Ω [15].

2 Material und Methoden

2.1 Material

Für die Zusammenschaltung der Schaltkreise wurde das *Brick'R'knowledge Bio Feedback Set* genutzt, da es eine modulare und übersichtliche Implementierung von Mikorocontrollerbasierten Anwendungen bietet. Als Echtzeitbetriebssystem (RTOS) kam FreeRTOS zum Einsatz, dessen API-Funktionen eine effiziente Entwicklung von Echtzeitsystemen und eine flexible Aufgabenverteilung ermöglichen. Für die Softwareentwicklung wurden *Visual Studio Code* in Kombination mit *PlatformIO* genutzt, die eine Entwicklungsoberfläche bereitstellen, die speziell für die Anforderungen von eingebetteten Systemen geeignet sind.

2.1.1 Brick'R'knowledge Set

Brick'R'knowledge ist ein Stecksystem, das von der Firma ALLNET GmbH Computersysteme hergestellt wird [16]. Es werden zahlreiche Elektroniksets angeboten, die dem Anwender Elektronik in einem kompakten Format näherbringen sollen. Das Set besteht aus Bausteinen, die zusammengesteckt werden können, um Schaltkreise zu formen. Durch das integrierte Format werden unübersichtliche Schaltungen, die mit vielen Leitungen zusammengebaut werden müssen, in eine kompakte Form gebracht. Ziel von Brick'R'knowledge besteht darin den einfachen Einsatz von Elektronik in Schulen und Hochschulen zu ermöglichen [16].

Das eingesetzte Set ist das *Bio Feedback Set*, das darauf ausgelegt ist, Biosignale zu messen. Mit diesen Biosignalen können beispielsweise Elektrokardiogramme (EKG), Elektromyogramme (EMG) oder Elektroenzephalogramme (EEG) aufgenommen werden.

In Abbildung 5 sind *Bricks* des *Bio-Feedback-Sets* zu erkennen. Das Herzstück des Sets, um diese Signale verarbeiten zu können, ist der MKR WiFi 1010. Dies ist ein Board mit einem Mikrocontroller der SAMD-Familie, dem SAMD21 [17]. Das Board wird auf einen für das Board vorgesehenen Block platziert. Dieser besitzt die nötigen Anschlüsse für die restlichen *Bricks*, um mit ihnen über das SPI- oder I²C-Interface zu kommunizieren.

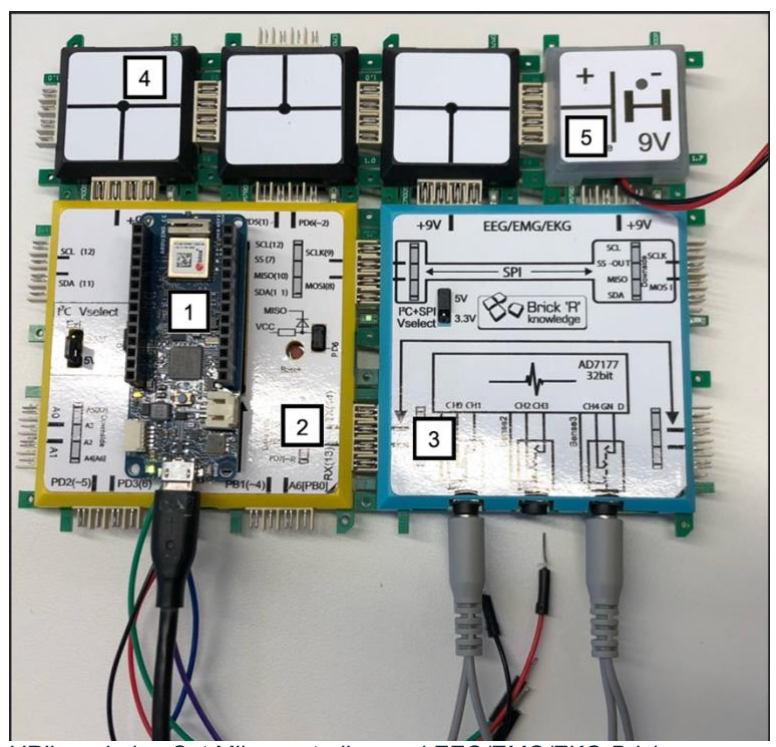


Abbildung 5: Brick'R'knowledge-Set Mikrocontroller- und EEG/EMG/EKG-Brick.

1. MKR WiFi 1010 2

2. Mikrocontroller-Brick

3. EEG/EMG/EKG-Brick

4. T-Stück

5. 9V-Brick

Der EEG/EMG/EKG-*Brick* wird verwendet, um die jeweiligen Biosignale aufzunehmen. Die Signale werden mit einem Analog-Digital-Wandler (AD-Wandler) aufgenommen und anschließend an den Mikrocontroller weitergegeben. Der AD-Wandler besitzt fünf Kanäle, die über drei sogenannte *Sense*-Anschlüsse als Analogeingänge genutzt werden. Über die ersten zwei *Sense*-Eingänge laufen jeweils zwei Kanäle, und der dritte *Sense*-Anschluss besitzt neben einem Kanal auch einen Masseanschluss. Zwei Kabel werden gleichzeitig über einen Klinkenstecker angeschlossen und erhalten dadurch Zugriff auf zwei Kanäle oder auf einen Kanal und den Masseanschluss [18].

Damit komplexere Schaltungen realisiert werden können, ist es möglich, T-*Bricks* zu verwenden, die als einfache Leiterbahnen dienen, die die einzelnen *Bricks* miteinander verbinden. Der Mikrocontroller und EEG/EMG/EKG-*Brick* werden mit einer Spannungsquelle betrieben, wofür ein 9V-*Brick* verwendet wird. An diesem wird eine 9V-Batterie angeschlossen, um die Schaltung mit Spannung zu versorgen.

Weitere *Bricks* sind im Set enthalten, wie ein OLED-*Brick*, der für das Darstellen von Texten und Grafiken verwendet werden kann, ein Pulsoxymeter-*Brick*, der mithilfe zweier Dioden die Sauerstoffsättigung und den Puls messen kann und ein LED-*Brick* mit zwei Leuchtdioden. Das

OLED-Display und der Pulsoxymeter-*Brick* müssen separat mit 9 Volt betrieben werden und kommunizieren über einen I²C-Bus [18].

2.1.1.1 AD7177-2

Besondere Signifikanz hat der AD-Wandler, der sich im EEG/EMG/EKG Brick befindet. Dieser ist der AD7177-2 und besitzt eine 32-Bit-Auflösung, kann bei 5 SPS (Samples pro Sekunde) effektiv 24,6 Bits oder 32 Bits mit Rauschen liefern, wobei Rauschen durch Störungen im Signal die tatsächliche nutzbare Genauigkeit verringert. Er unterstützt eine Abtastrate von bis zu 10 kSPS [11]. Die Datenübertragung erfolgt mit 8-Bit-Anweisungen und 8–24-Bit-Datenpaketen [11]. Bei Frequenzen von 50–60 Hz liegt die Gleichtaktunterdrückung bei über 120 dB und durch integrierte Buffer-Schaltungen bietet der AD-Wandler eine hohe Eingangsimpedanz (abhängig von der Verstärkung) [11]. Der Wandler benötigt keine weitere Vorverstärkung und liefert das verstärkte Signal direkt an den Mikrocontroller.

Der AD-Wandler besitzt fünf Kanäle (AIN0-4), die beim *Brick* mittels der *Sense*-Eingänge zur Verfügung stehen. Die serielle Schnittstelle wird rechts in Abbildung 6 dargestellt, mit der externe Geräte verbunden werden können. Im Inneren befindet sich die Verschaltung.

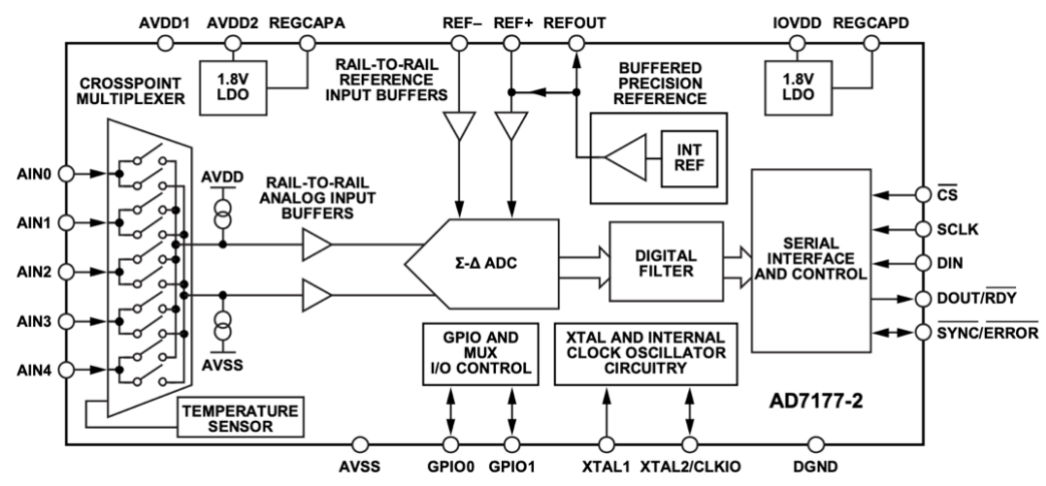


Abbildung 6: AD7177-2 Blockdiagramm des Pin-Layouts und der internen Struktur [11].

Der AD7177-2 besitzt ein konfigurierbares Register, welches über die SPI-Kommunikationsschnittstelle angesprochen werden kann. Die Einstellungsmöglichkeiten können dem Bitregister des Datenblattes entnommen werden [11]. Die Kanäle werden über das *Channel Register* konfiguriert, um beispielsweise als differenzielle oder einzelne Eingänge verwendetet zu werden. Er kann auch als *Multiplexer* mit mehreren Kanälen eingesetzt werden [11]. Die Betriebs- und Schnittstellen-Modi können ebenfalls je nach Anwendung individuell

eingestellt werden. Der *Continuous Conversion Mode* ist zum Beispiel für Echtzeitanwendungen geeignet, da in diesem Modus Daten kontinuierlich erfasst werden [11].

Der Wandler besitzt mehrere Digitalfilter, die in Abbildung 6 in der internen Schaltung zu erkennen sind. Diese können individuell eingestellt werden, wie beispielsweise mit Sinc3- oder Sinc5-Filtern, die niederfrequentes Rauschen unterdrücken. Außerdem können *Offset*- oder Verstärkungs-Einstellungen vorgenommen werden [11].

2.1.1.2 MKR WiFi 1010

Im Set kommt der Arduino MKR WiFi 1010 zum Einsatz. Das Board basiert auf einem SAMD21 Mikrocontroller. Dieser verwendet einen 32-Bit ARM Cortex-M0+ Prozessor mit einer Taktfrequenz von 48 MHz. Das Board besitzt außerdem ein integriertes U-blox NINA-W102 Modul, welches IEEE 802.11 b/g/n sowie Bluetooth 4.2 unterstützt [17]. Dieses kann verwendet werden, um Netzwerkkonnektivität und direkte Gerätekommunikation über Bluetooth zu ermöglichen.

Wie in Abbildung 7 zu sehen ist, besitzt das Board viele Anschlussmöglichkeiten, darunter acht digitale Ein-/Ausgangspins, sieben analoge Pins und dreizehn PWM-Pins. Der Flash-Speicher für den Programmcode beträgt 256 KB und für dynamische Daten stehen 32 KB SRAM zur Verfügung [17].

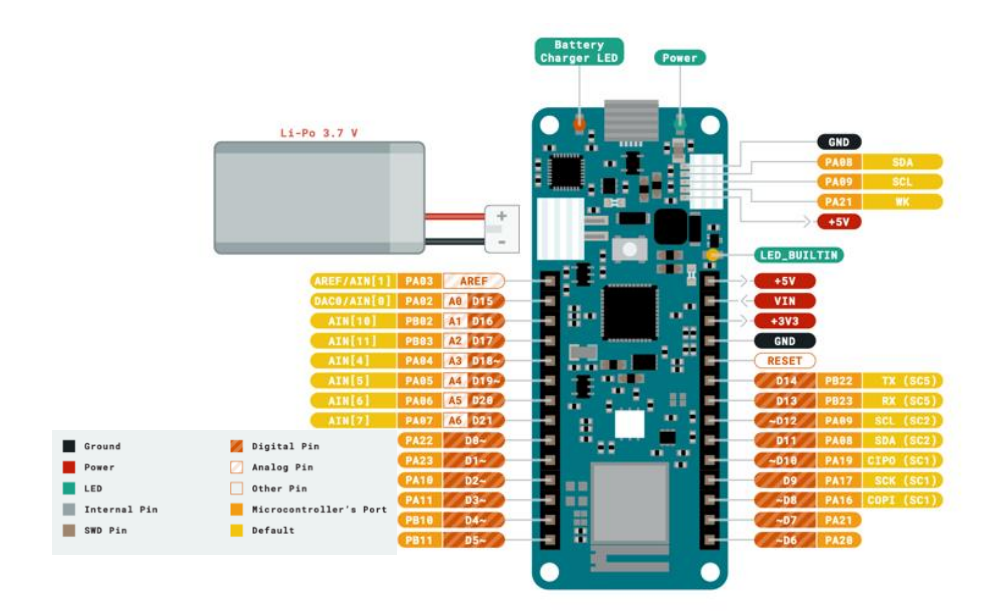


Abbildung 7: MKR WiFi 1010 Pinlayout [19].

Die Energieversorgung kann flexibel über USB (5V), eine Batterie oder einen LiPo-Akku gewährleistet werden. Die Betriebsspannung beträgt 3,3 V, während der USB-Anschluss mit 5 V betrieben wird. SPI, I²C und USART können als Kommunikationsschnittstellen mit externen Geräten genutzt werden [17].

2.1.1.3 Beispielprogramme

Im Set sind Beispielprogramme enthalten, auf die die Programme dieser Arbeit zum Teil aufbauen. Insbesondere die Ansteuerung der SPI- und I²C-Schnittstellen des EEG/EMG/EKG- *Bricks* wird aus den Beispielprogrammen übernommen. Die Beispielprogramme zeigen, wie die *Bricks* genutzt werden können, um Biosignale aufzunehmen und diese auf der Konsole oder einem Display auszugeben. Für EKG-, EMG- und EEG-Messungen gibt es viele Beispiele.

Abbildung 8 zeigt, wie ein Beispielprogramm für eine EMG-Messung aufgebaut ist. Dieses nutzt den EEG/EMG/EKG-*Brick* und ein I²C-OLED-Display. Die Kommunikation der Bricks wird über SPI- oder I²C-Schnittstellen ermöglicht. In Quellcode 1 ist Code zum setzen des AD-Wandlers dargestellt. So können Einstellung benutzerdefiniert getroffen werden.

Quellcode 1: Code zum setzen des Registers des AD7177-2

SPI.transfer(0x01); SPI.transfer16(0x800C);

SPI.transfer(0x02); SPI.transfer16(0x0442);

SPI.transfer(0x06); SPI.transfer16(0x060d);

Bei einer EMG-Messung am Arm wird dieses Signal am OLED-Display grafisch dargestellt. Die Signalverarbeitung erfolgt durch den eingesetzten AD7177-2 und den MKR WiFi 1010. Über die Software wird der AD-Wandler eingestellt, wodurch unter anderem die Kanäle ausgewählt und Digitalfilter eingestellt werden, um die Signalqualität zu verbessern. Zusätzlich wird das Signal numerisch auf der Konsole ausgegeben, was eine detailliertere Analyse der erfassten Signale ermöglicht.

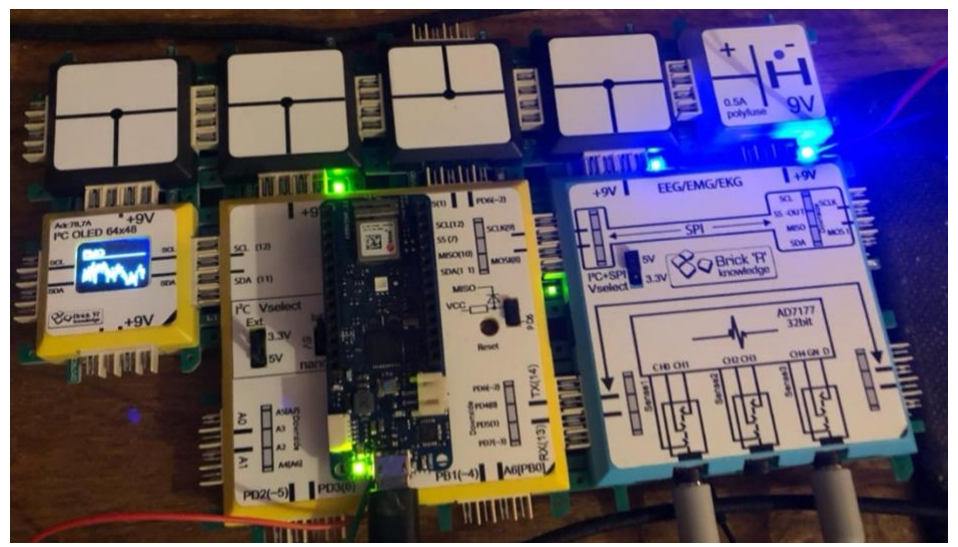


Abbildung 8: EMG-Messung-Aufbau des Beispielcodes mittels EEG/EMG/EKG-Block und OLED-Display.

2.1.2 FreeRTOS (Version 10.2.1)

Es wurden FreeRTOS-Funktionalitäten verwendet, um Programme dieser Arbeit zu entwickeln. Dabei kamen Schlüsselfunktionalitäten wie *Tasks*, *Queues* und *Semaphoren* zum Einsatz. Mit FreeRTOS können Anforderungen an deterministische Reaktionen im Echtzeitsystem erfüllt werden. da *Tasks* unabhängig von laufenden Prozessen innerhalb einer vordefinierten Zeit ausgeführt werden können.

Tasks werden durch eine Funktion implementiert, die dem folgenden Prototyp entspricht:

Quellcode 2: Task-Funktion Prototyp [6]

void vATaskFunction(void * pvParameters);

Der Parameter *pvParameters* ist der Wert, der dem *Task* übergeben wird. Die Erstellung einer Task erfolgt über die API-Funktion *xTaskCreate()*, die einen Task erstellt und für den *Scheduler* verfügbar macht. Die Funktion hat den folgenden Prototyp:

Quellcode 3: Task-Erstellung Prototyp [6]

xTaskCreate(TaskFunction_t pvTaskCode, const char * const pcName, configSTACK_DEPTH_TYPE usStackDepth, void * pvParameters, UBaseType_t uxPriority, TaskHandle_t * pxCreatedTask);

PvTaskCode ist der Pointer (Zeiger) auf die Funktion, die die Logik des Tasks enthält. PcName ist ein eindeutiger Name des Tasks, der vor allem zu Debugging-Zwecken dient. Der Name hat keinen Einfluss auf die Ausführung der Task. UsStackDepth gibt die Größe des zugewiesenen Stacks in Worten an. Die tatsächliche Größe hängt von der Wortbreite des Prozessors ab. Zum Beispiel bei einer Wortbreite von 32 Bit entspricht ein Wert von 128 einer Speicherzuweisung von 512 Bytes. PvParameters ist ein Pointer auf die Parameter, die dem Task übergeben werden sollen. Dieser Parameter ist optional und kann NULL sein. UxPriority gibt die Priorität des Tasks an, die bestimmt, in welcher Reihenfolge der Scheduler Tasks ausführt. Gültige Werte beginnen bei 0 (niedrigste Priorität). Die maximale Priorität wird in der Konfigurationsdatei des RTOS definiert. Tasks können auch die gleiche Priorität haben. PxCreatedTask ist ein Pointer auf ein Handle, das die neu erstellte Task repräsentiert. Dieses Handle ermöglicht die Steuerung des Tasks über andere API-Funktionen wie das Pausieren oder Löschen von Tasks [6].

2.1.2.1 Queues

Der Prototyp um eine Queue in FreeRTOS zu erstellen sieht wie folgt aus:

Quellcode 4: Queue-Erstellung Prototyp [6]

QueueHandle txQueueCreate(UBaseType tuxQueueLength, UBaseType tuxItemSize);

UxQueueLength gibt an, wie viele Variablen von der Queue zur selben Zeit gehalten werden können. UxItemSize ist die Variablengröße in Bytes, die in der Queue gespeichert werden kann. Um eine Queue erfolgreich zu erstellen, muss ein Queue-Handle deklariert werden, das mit einem xQueueCreate-Befehl gleichgesetzt wird. Werte können an eine Queue gesendet oder von einer Queue empfangen werden. Für die jeweiligen Funktionen gibt es unterschiedliche Prototypen.

Quellcode 5: QueueSend-Prototyp [6]

BaseType_t xQueueSend(QueueHandle_t xQueue, const void * pvItemToQueue, TickType t xTicksToWait); xQueue ist der Handle, mit dem eine Queue erstellt wurde. pvltemToQueue ist ein Pointer auf die Variable, die in die Queue gespeichert werden soll. xTicksToWait Gibt die Zeit an, die der Task warten soll, bis die Queue frei wird. Die QueueReceive-API-Funktion besitzt einen fast identischen Aufbau.

Quellcode 6: Queue-Receive Prototyp [6]

BaseType_t xQueueReceive(QueueHandle_t xQueue, void * const pvBuffer,

TickType t xTicksToWait);

Der *pvBuffer* ist ein *Pointer* auf den Speicher, in der die Daten kopiert werden. Nur mit diesen drei Prototypen kann die Kommunikation zwischen Tasks ermöglicht werden. Ein *Receive-Task* kann von mehreren Tasks Daten erhalten. Dabei ist die Priorisierung ausschlaggebend für das Verhalten der Tasks. Falls ein *Receive-Task* eine niedrigere Priorität als der *Send-Task* besitzt, würde die *Queue* zuerst volllaufen, bevor ein Wert vom *Receive-Task* erhalten werden kann, da der *Send-Task* im *Blocked State* sein muss. Umgekehrt würde mit höherer Priorität die *Queue* nicht volllaufen können, da der *Receive-Task*, den ersten Wert direkt abgreifen würde [6].

2.1.2.2 Interrupts und Semaphoren

Nachdem ein *Interrupt* ausgelöst, kann innerhalb der ISR eine Semaphore an einen *Handler-Task* gesendet werden. Die binäre Semaphore wird wie folgt erstellt:

Quellcode 7: Semaphore-Erstellung-Funktion [6]

SemaphoreHandle_t xSemaphoreCreateBinary(void);

Mit der xSemaphoreGiveFromISR()-Funktion wird die Semaphore von der ISR übermittelt. Diese hat den folgenden Prototypen:

Quellcode 8: SemaphoreGive-Funktion [6]

BaseType_t xSemaphoreGiveFromISR(SemaphoreHandle_t xSemaphore,

BaseType t *pxHigherPriorityTaskWoken);

Der Handle wird referenziert, und wenn die Funktion aufgerufen wird, wird pxHigherPriorityTaskWoken auf pdTRUE gesetzt. Dies kann mit portYIELD_FROM_ISR() verwendet werden, um einen Context Switch zu bewirken. Die Semaphore kann dann von dem Handler-Task mit der xSemaphoreTake()-Funktion angenommen werden.

Quellcode 9: SemaphoreTake-Funktion [6]

BaseType_t xSemaphoreTake(SemaphoreHandle_t xSemaphore, TickType_t xTicksToWait);

Dieser referenziert den *Task-Handle* und wartet bis zu einer definierten Zeit auf die Semaphore. Im Fall eines ISR-*Handlers* sollte dieser auf *portMAX_DELAY* gestellt werden, damit er bis auf unbestimmte Zeit wartet [6].

2.1.3 Entwicklungswerkzeuge

2.1.3.1 Visual Studio Code (Version 1.93.1)

Visual Studio Code (VS Code) ist ein Open-Source-Code-Editor, der von Microsoft entwickelt wurde. Im Gegensatz zu Visual Studio ist VS Code keine integrierte Entwicklungsumgebung (IDE) und verfügt daher nicht über viele der Entwicklungstools, die in einer IDE enthalten sind. Der Editor unterstützt eine Vielzahl von Programmiersprachen und *Frameworks* und eignet sich besonders für die Entwicklung von eingebetteten Systemen.

VS Code bietet Funktionen wie *Syntax-Highlighting*, *Bracket-Matching* und viele weitere nützliche Tools. Durch seine kompakte Grundinstallation und die Möglichkeit ihn modular zu erweitern, ist VS Code flexibel einsetzbar. Spezifische Erweiterungen können installiert werden, um individuelle Entwicklungsanforderungen abzudecken.

2.1.3.2 PlatformIO (Core 6.1.16)

PlattformIO ist ein plattformübergreifendes und architekturunabhängiges Werkzeug für eingebettete Systeme, das speziell auf die Anforderungen von Mikrocontrollern ausgelegt ist [20]. Es wurde als Erweiterung für VS Code verwendet und unterstützt zahlreiche Mikrocontroller-Familien, wie z. B. ARM, AVR, ESP32 oder STM32.

PlatformIO wurde verwendet, um mit der Programmiersprache C++ den Quellcode zu entwickeln. PlatformIO bietet viele Werkzeuge, die die Programmierung erleichtern, darunter Debugger und Testwerkzeuge, die direkt in der Software integriert sind [20]. Die Bibliotheken können mithilfe eines integrierten Suchwerkzeugs gefunden und in Projekte eingebunden werden. Projekte, die mit PlatformIO erstellt werden, enthalten eine *platform.ini-*Datei, über die beispielsweise *Github-*Links für Bibliotheken oder interne Dateipfade eingefügt werden können.

2.1.3.3 FreeRTOS Library

FreeRTOS stellt für viele Mikrocontroller Portierungen zur Verfügung, um die Bibliotheken für die spezifische Hardware kompatibel zu machen. Der Sourcecode kann auf der offiziellen Homepage heruntergeladen werden. Dieser beinhaltet die *Source-* und *Header-*Dateien, die für alle Ports gleich sind und die für den Port relevant sind. Für den SAMD21 existiert kein offizieller Port [21].

2.1.4 AVR Debugger

Im Rahmen dieser Arbeit wurde auch eine Debugging-Schnittstelle für den MKR WiFi 1010 gefertigt. In der Entwicklung von *Embedded*-Systemen können *Debugging*-Instrumente verwendet werden, um *Bugs* im System leichter zu erkennen oder das Systemverhalten besser analysieren zu können. Durch das Setzen von *Breakpoints* wird der Code an einer spezifischen Stelle gestoppt. Dies ermöglicht eine einfachere Analyse des Systemverhaltens. Unter anderem können so Variablen und Speicher während der Ausführung überwacht werden.

Als Debugger wird der Atmel ICE verwendet. Dieser ist kompatibel mit Mikrocontrollern der SAM- und AVR-Familie. Um eine Schnittstelle herzustellen, stehen wie in Abbildung 9 zu sehen, auf der unteren Seite des Boards Interface-Pins zur Verfügung, die mit dem Debugger verbunden werden können. Es wurde eine Verbindung zum Debugger gewährleistet, indem Leitungen direkt auf die Interface-Pins gelötet wurden. Damit wird ermöglicht, dass das Board gleichzeitig mit dem Brick'R'Knwowledge Set verwendet werden kann, da dadurch zwischen Brick und Board ausreichend Spielraum vorhanden ist.

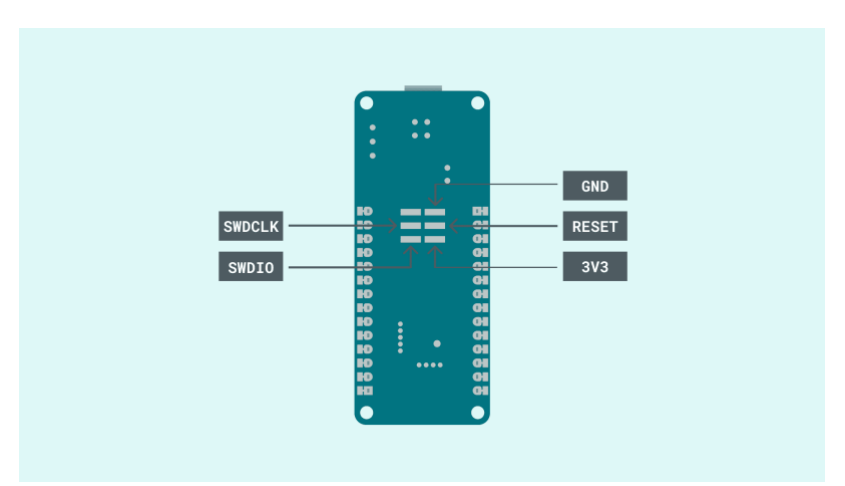


Abbildung 9: MKR WiFi 1010 Debugger-Interface-Pins [22].

2.2 Methoden

2.2.1 Implementierung FreeRTOS auf dem SAMD21

FreeRTOS verfügt über eine große Sammlung von Ports, die für verschiedene Mikrocontroller verwendet werden können. Diese können von der FreeRTOS-Homepage direkt heruntergeladen und genutzt werden. Die Ports besitzen eine vordefinierte Datenstruktur, die wie in Abbildung 10 die eingehalten werden sollte, damit diese funktionieren. FreeRTOS beinhaltet grundlegende Dateien, die von allen Ports geteilt werden. Diese beinhalten die grundlegende FreeRTOS-Funktionen wie den *Scheduler*, *Tasks*, *Queues* usw. Jeder Port benötigt spezifische Dateien für die jeweilige Prozessorarchitektur. Diese beinhalten *Compiler*-und RTOS-Code um FreeRTOS auf der spezifischen Architektur funktionsfähig zu machen.

```
FreeRTOS

|

→ Source (FreeRTOS Kernel-Dateien)

|

→ include (FreeRTOS Header-Dateien)

|

→ Portable (Architekturspezifischer Code)

|

→ Compiler (Compiler for the Port)

→ MemMang (Heap-Datei für Speicher-Algorithmus)

Abbildung 10: FreeRTOS Datenstruktur [23].
```

Für Ports, die noch nicht existieren, gibt es *Templates*, um diese selbst zu programmieren. Da für den SAMD21 kein offizieller Port zur Verfügung steht, müsste ein neuer händisch programmiert werden. Allerdings konnte über das PlatformIO-Suchwerkzeug ein Port gefunden werden, der für den SAMD21 zugeschnitten ist [24].

Dieser Port besitzt alle nötigen FreeRTOS-Funktionen, um die Projekte dieser Arbeit entwickeln zu können. Die Datenstruktur wurde allerdings soweit geändert, dass alle Dateien sich in einem *Source-*Ordner abgelegt sind.

Mit der *Kdiff3*-Applikation wurde verglichen, inwieweit die Dateiein des Ports von den grundlegenden FreeRTOS Dateien abweichen. Im Port wird die FreeRTOS-Kernel Version 10.2.1 verwendet weshalb, dieser mit der selben Grundversion verglichen wurde.

Die Abbildung 11 zeigt, dass viele der Dateien identisch sind. Wenn beide Zeilen in den Spalten A und B grün sind, ist der Inhalt beider Dateien identisch. Wenn eines der Kästchen rot ist, bedeutet dies, dass der Inhalt voneinander abweicht. Wenn ein Kästchen schwarz ist, ist diese Datei in einem der Ports nicht vorhanden. Bei den abweichenden Dateien wurde der Code in der Regel um einige Zeilen ergänzt.

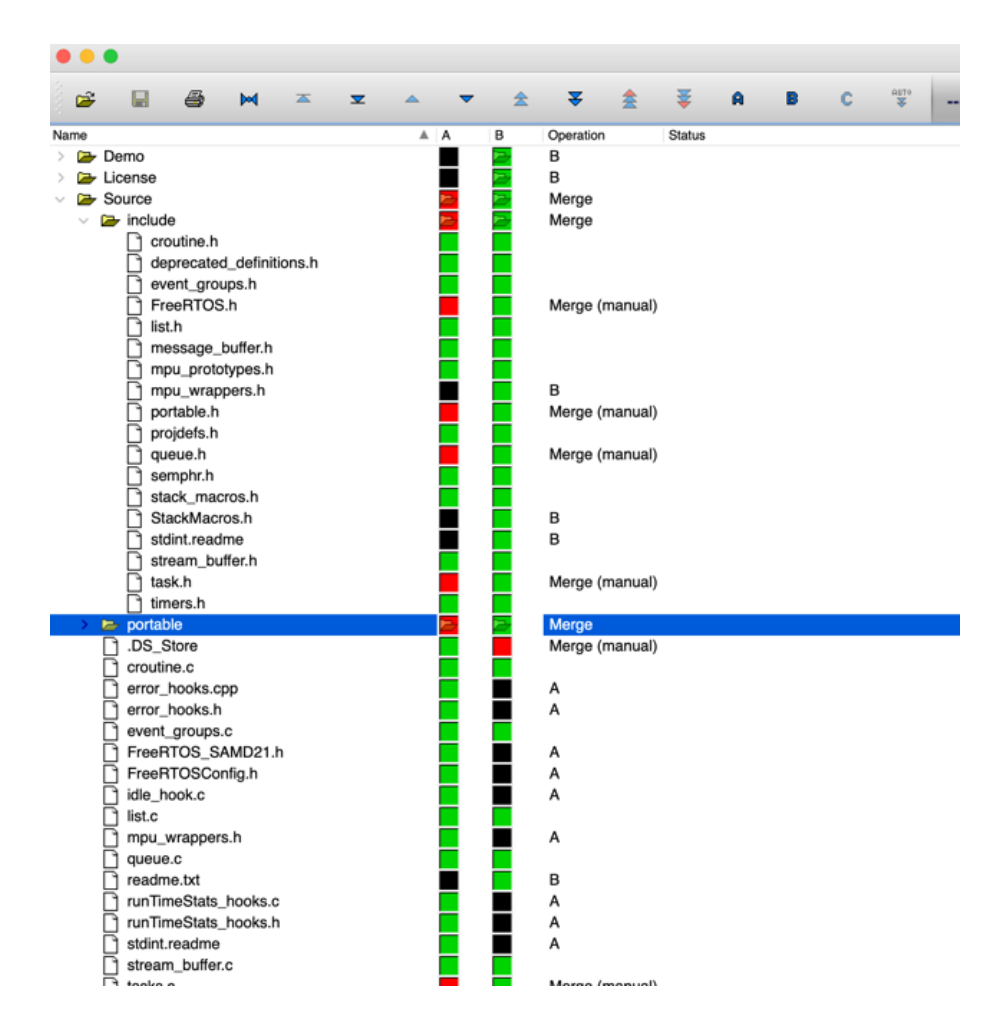


Abbildung 11: SAMD21-Port Diff-Verlgeich mit FreeRTOS Grundinstallation.

Das Ersetzen der Port-Dateien mit Dateien einer neueren FreeRTOS Version (v10.5.1) konnte erfolgreich kompiliert werden und grundlegende Funktionen waren funktionsfähig. Aufgrund der minimalen Abweichungen kann nicht ausgeschlossen werden, dass dadurch *Bugs* entstehen.

2.2.2 Entwicklung von Testprogrammen

Um FreeRTOS auf dem SAMD21 zu testen, wurden mehrere Testprogramme entwickelt. Diese sollen die Funktion von FreeRTOS verdeutlichen und prüfen, wie weit die Hardware für bestimmte Anforderungen belastet werden kann.

2.2.2.1 Entwicklung des Codes

Der erste Test prüft, wie viele *Tasks* erstellt werden können, bevor der *Heap* des Mikrocontrollers voll läuft. In einer *for*-Schleife werden so viele Tasks erstellt, bis der *Heap* des *Controllers* voll ist.

```
Quellcode 10:Schleife zum Erstellen von beliebig vielen Tasks for(uint8\_t \ i = 0; \ i < MAX\_NUM; \ i++) { tasknum[i] = i; \\ xTaskCreate(\ vTask,"Math", \ 128, \ (void*)\&tasknum[i], \ 1, \ NULL); }
```

Jeder *Task* gibt die Größe des *Heaps* aus, die mit der *xPortGetFreeHeapSize()-*Funktion zurückgegeben wird. Die Funktion gibt keinen Aufschluss über die Fragmentierung des Codes.

Im zweiten Test wird das *Task*-Verhalten geprüft, wenn dieser aufgrund zu hoher Berechnungszeiten nicht mehr ausgeführt werden kann. Die Pins 0 bis 7 werden als digitale Ausgänge verwendet. Beim Stresstest sollen acht *Tasks* diese abwechselnd ansteuern. Jeder Pin bekommt eine Delayzeit von 500 ms und die Priorität wird absteigend vom Pin 7 zugeteilt. Wodurch Pin 7 die höchte Priorität hat und Pin 0 die niedrigste.

Während der Tasks wird eine einfache Berechnung durchgeführt:

```
Quellcode 11: Schleife zur Belastung des Systems for (int i = 0; i < 400000; i++) { stressVar += i * i;}
```

Die *Tasks* geben in der Konsole aus, wie viele Ticks und wie viele Zyklen der *Task* durchlaufen hat. Die Tick-Anzahl kann mit der Funktion *xTaskGetTickCount()* abgerufen werden. Diese wird

mit xLastWakeTime = xTaskGetTickCount() initialisiert, sodass zu beginn der Task auf Null gesetzt wird. Die verstrichene Zeit kann mit der micros()-Funktion ermittelt werden. Wenn dann ein Start- und Endzeitpunkt aufgenommen wird, kann so die verstrichene Zeit berechnet werden.

Der Mikrocontroller arbeitet mit einer Taktfrequenz von 48 MHz, was in Formel 1 dargestellt wird. Die Taktzyklen werden auf der Konsole ausgegeben.

Formel 1: Berechnen der Zyklen

 $Z = t \cdot f$

Z: Anzahl der Zyklen

t: Zeit

f: Frequenz

2.2.3 Steuern eines Aktuators per EMG-Messung

Ein Fingermodell wurde entwickelt (Abbildung 12), das mittels eines Servomotors (SAVÖX SC-0251 MG) angetrieben und per EMG-Signal angesteuert wird. Der Servomotor besitzt drei Leitungen. Zwei davon dienen zur Spannungsversorgung mit 5 V (Zuleitung und Masse) und eine Leitung dient zur Steuerung des Motors mittels PWM-Signal. Im Projekt werden mehrere FreeRTOS-Funktionen realisiert, die auf Funktionalität und Echtzeitfähigkeit geprüft werden.

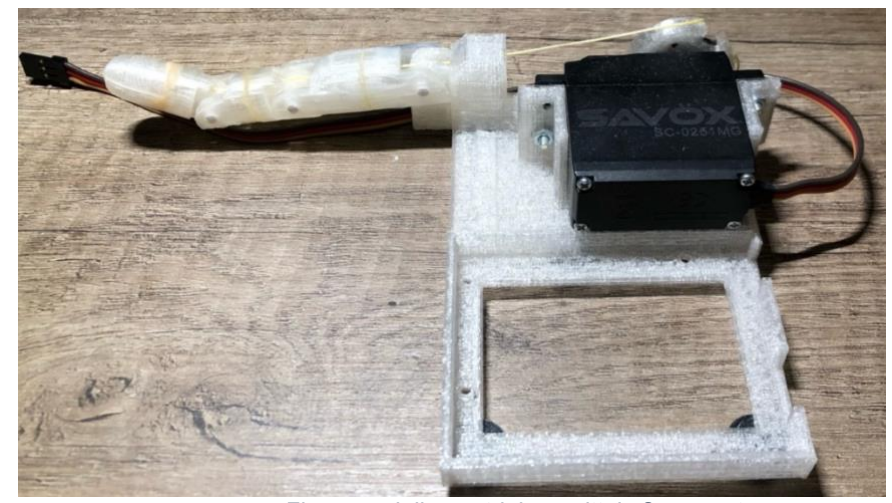


Abbildung 12: Fingermodell angetrieben mittels Servomotors.

In Abbildung 13 wird dargestellt wie das Signal bis zum Fingermodell gelangt. Durch Muskelaktivität wird ein EMG-Signal erzeugt, das verstärkt und gefiltert wird und anschließend per SPI-Kommunikation an den an den Mikrocontroller übergegeben wird. Dieser generiert das PWM-Signal, das an die Steuerleitung des Fingermodells weitergegeben wird.

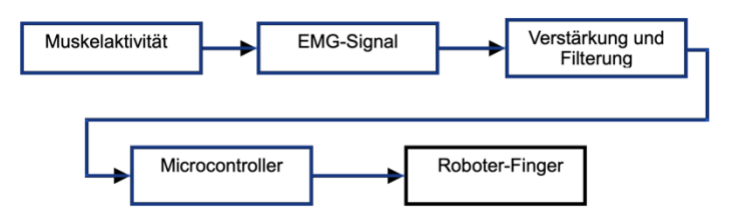


Abbildung 13: Blockdiagramm des Signalflusses von Muskelaktivität bis Aktuierung des Fingermodels.

Der Beispielcode des Brick'N'Knowledge-Sets dient bei der Entwicklung als Grundlage. Vor allem wurde der Code zur SPI-Kommunikation zwischen EMG-Brick und Mikrocontroller genutzt.

In Abbildung 14 ist der Messaufbau zu sehen. Die Schaltung besteht aus dem EEG/EKG/EMG Brick, dem MKR WiFi 1010, der auf dem vorgesehen *Brick* platziert ist, einem Steckbrett, der einen Schlater platziert hat, um den *Interrupt* auszulösen und einem Fingermodell. Ziel des Messaufbaus ist die Messung der Taskabläufe und deren Timings. Der Schalter und Fingermodell werden mit 5 V versorgt und besitzen jeweils eine Steuerleitung, die am MKR WiFi 1010 angeschlossen wird.

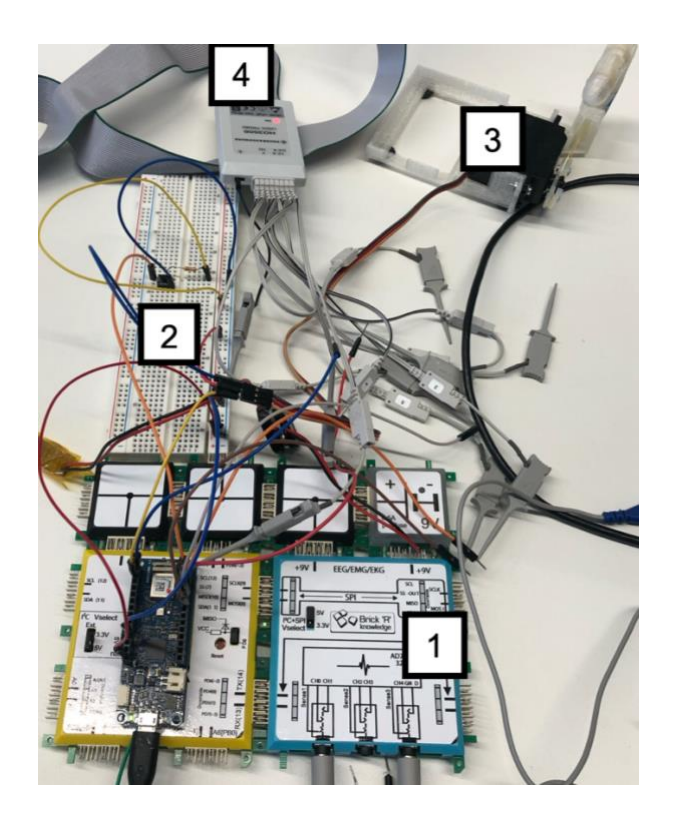


Abbildung 14: Messaufbau der EMG-Messung.

- 1. Brick'R'knowledge-Set Aufbau
- 2. Steckbrett mit Button
- 3. Fingermodel

4. Digital Probe zur Messung

Wie in Abbildung 15 dargestellt, werden zwei Elektroden am Arm (*M. Brachioradialis*) in longitudinaler Ausrichtung mit den Muskelfasern platziert. Eine Erdelektrode wird auf der Handrückseite (dorsal) platziert. Es werden Kendall H985G EKG-Elektroden verwendet.

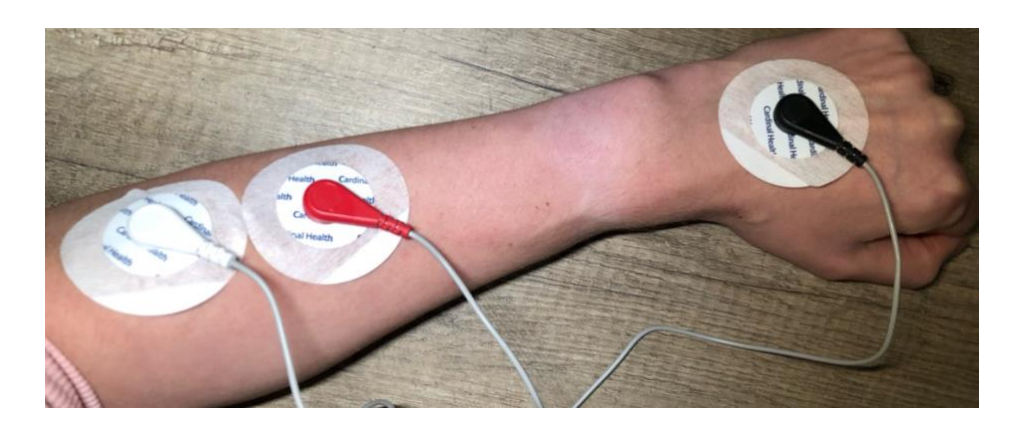


Abbildung 15: Platzierung der EMG-Elektroden.

Die Messung erfolgt alle 20 ms. Bei Muskelkontraktion soll das Fingermodell sich schließen. Es bleibt im geschlossenen Zustand, solange die Kontraktion hoch bleibt. Der PWM-*Task* wartet 300 ms auf die *Queue*, falls diese in diesem Zeitraum keinen neuen Wert erhalten sollte wird der Finger wieder geschlossen und das PWM-Signal wird abgeschaltet.

Ein LED-Task läuft im Hintergrund und bringt die LED auf dem Board zum blinken. Im eingeschalteten Modus soll sie jede Sekunde blinken und beim ausgeschalteten Modus alle 100 ms. Beim Drücken des Buttons wird eine ISR ausgelöst, die ISR übergibt dem *Handler-Task* eine Semaphore übergibt. Dadurch wird der *Task* ausgeführt und die EMG- und PWN-*Tasks* werden deaktiviert, falls sie im Betrieb sind und werden aktiviert, falls sie davor inaktiv waren. Der LED-*Task* wird auf den Takt von entweder 1 Sekunden oder 100 ms Takt gestellt.

In der Abbildung 16 ist der Ablauf einer Messung zu sehen. Der EMG-*Task* wird alle 20 Sekunden ausgeführt. Wird der Schwellenwert überschritten, wird der gemessene Wert in eine *Queue* gegeben, die an den PWM-*Task* weitergegeben wird. Dieser gibt ein Pulsweitenmodudel-Signal (PWM-Signal) auf den Finger, um diesen zu schließen. Der PWM-*Task* wartet bis zu 300 ms auf einen neuen Wert in der *Queue*. Wenn der Schwellenwert bis dahin nicht überschritten wurde, wird das Fingermodell durch ein weiteres PWM-Signal wieder geöffnet und ausgeschaltet. Der LED-*Task* setzt jede Sekunde die interne LED des Boards auf *HIGH* und *LOW*. Die in Abbildung 16 und Abbildung 17 dargestellen *Task*-Abläufe entsprechen nicht der tatsächlichen zeitlichen Skalierung. In der Realität wird der EMG-*Task* mehrmals ausgeführt, bevor der LED-*Task* sich wiederholt.

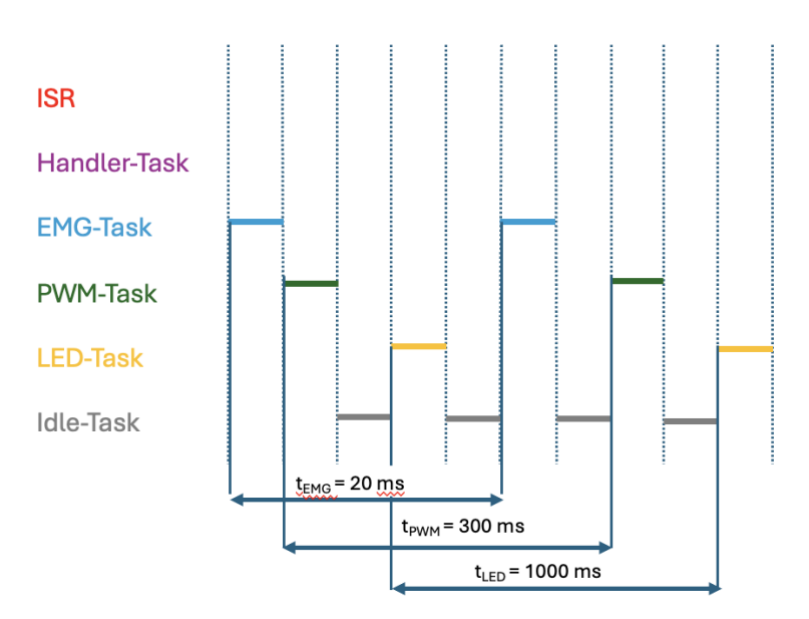


Abbildung 16: Timing- und Ablauf-Diagramm der Tasks.

In Abbildung 17 wird gezeigt, wie der EMG- und PWM-*Task* deaktiviert werden. Nachdem die ISR durch einen Button betätigt wurde, aktiviert dieser den *Handler-Task*, welcher wiederum den EMG- und PWM-*Task* deaktiviert. Die Periode des LED-*Tasks* wird auf 100 ms verkürzt.

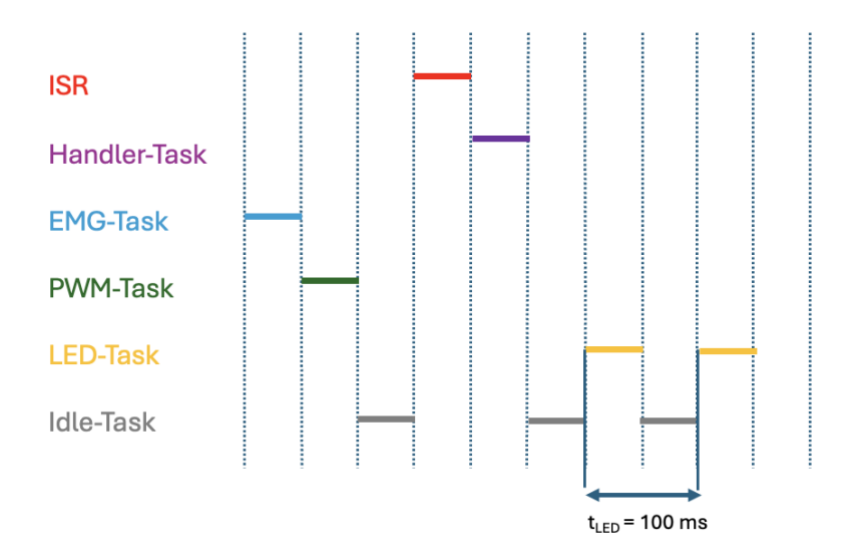


Abbildung 17: Timing- und Ablauf-Diagramm der Tasks nach ISR.

Um die *Task*-Zeiten messen zu können, werden einzelne Pins des MKR WiFi 1010 beim Start der Ausführung auf *HIGH* und nach Ende der Ausführung wieder auf *LOW* gesetzt. So können sowohl die Ausführungs- als auch die Periodenlänge der *Tasks* gemessen werden. Die interne LED des Boards ist parallel zu einem Pin geschaltet, weshalb dieser direkt gemessen werden kann. Dadurch wird nicht die Verarbeitungsdauer des *Tasks* gemessen, sondern nur die Periodenlänge, die dieser für den gesamten *Delay* entweder auf *LOW* oder *HIGH* gesetzt ist. Die Ausgänge werden mit einer *Logic-Probe* und einem Oszilloskop (Rohde & Schwarz HMO722) gemessen. Die Logic Probe wird an den entsprechenden Pins angeschlossen.

3 Ergebnisse

Im Folgenden werden die Ergebnisse der durchgeführten Testprogramme und Messungen zusammengefasst. Diese umfassen die Analyse des Speicher- und *Task*-Verhalten des MKR Wifi 1010 unter Last anhand zweier spezifischer Testprogramme, sowie die Ergebnisse der Messungen des Prototypens und Vollaufbaus inklusive der Steuerung des Fingermodells.

3.1 Messungen der Testprogramme

In der Implementierung der Testprogramme konnte festgestellt werden, dass maximal 20 Tasks erstellt werden konnten, bevor der *Heap*-Speicher des Mikrocontrollers erschöpft war. Die *Heap*-Größe wurde in der Konfigurationsdatei (FreeRTOSConfig.h) auf 14,336 KB festgesetzt. Der *Stack*-Speicher, der beim Erstellen der Task festgelegt wird, beträgt 128 *Words*. Ein *Word* auf einem 32-Bit-Prozessor ist 4 Bytes groß, weshalb ein Speicherbedarf von 512 Bytes vorliegt. Der TCB wird automatisch allokiert. Der genaue Speicherbedarf konnte durch Analyse mit der Funktion *xPortGetFreeHeapSize*() ermittelt werden, dass eine Task einen Gesamtspeicher von 624 Bytes verbraucht. Die Größe des Stacks kann berechnet werden, indem die Differenz zwischen dem Gesamtspeicher, den ein Task verbraucht und dem Speicher der für eine Task explizit allokiert wurde genommen wird. Somit wäre der *Overhead* des TCBs 112 Bytes groß.

Formel 2: Berechnung des TCBs eines Tasks

TCBStack = Gesamtspeicher - Taskspeicher TCBStack = 624 Bytes - 512 Bytes = 112 Bytes

Die Ausgabe des freien *Heaps* nach jeder Task Erstellung wird in Abbildung 18 dargestellt. Nach Erstellung des ersten *Tasks* wird der stehen 13.704 Bytes des *Heaps* zur Verfügung. In Inkrementen nimmt der Speicher pro *Task* um 624 Bytes ab. Nachdem der Scheduler gestartet wird, werden weitere 1.640 Bytes verwendet. Die *xPortGetFreeHeapSize()* gibt erst einen Rückgabewert, wenn Speicherplatz zugewiesen wurde, weshalb der freie *Heap* vor der Erstellung einer *Task* nicht ausgegeben wurde. Durch Rückrechnung kann jedoch darauf geschlossen werden, dass der freie Speicher wahrscheinlich bei 14.328 Bytes liegt. Dies sind 8 Bytes weniger als der zugewiesene Speicher von 14.336 Bytes. Siehe Anhang: Projekt "FreeRTOS_Stresstest_1" für den Quellcode.

```
6840
Free Heap nach Erstellung von Task Nr. 2
                                            6216
                                            Free Heap nach Erstellung von Task Nr. 14
5592
Free Heap nach Erstellung von Task Nr. 3
12456
                                             Free Heap nach Erstellung von Task Nr. 15
Free Heap nach Erstellung von Task Nr. 4
                                            Free Heap nach Erstellung von Task Nr. 16
Free Heap nach Erstellung von Task Nr. 5
                                             Free Heap nach Erstellung von Task Nr. 17
ree Heap nach Erstellung von Task Nr. 6
10584
                                             Free Heap nach Erstellung von Task Nr. 18
Free Heap nach Erstellung von Task Nr. 7
                                             3096
                                             Free Heap nach Erstellung von Task Nr. 19
     Heap nach Erstellung von Task Nr. 8
                                             2472
9336
                                             Free Heap nach Erstellung von Task Nr. 20
Free Heap nach Erstellung von Task Nr. 9
                                             1848
                                             Starte Scheduler:
ree Heap nach Erstellung von Task Nr. 10
                                             Free heap: 208
                                             Tasknum: 1
```

Abbildung 18: Ausgabe des freien Heaps nach Erstellung der Tasks.

Im zweiten Testprogramm konnte festgestellt werden, dass fünf Tasks ausgeführt werden konnten, bevor das Limit erreicht wurde. Die Delay ist auf 500 ms eingestellt. Ein *Task* benötigt ca. 4.456.848 bis 4.459.584 Zyklen zur Berechnung. Die Tickzahl pro *Task* liegt bei 92-93 Ticks. Der MKR WiFi 1010 arbeitet mit 48 MHz, was genau 24 Millionen Zyklen alle 500 ms sind. Fünf *Tasks* durchlaufen ca. 22,29 Millionen Zyklen, was in die *Task-*Frequenz passt.

Ein sechster *Task* konnte alle zwei Zyklen ausgegeben werden, also nachdem alle Tasks, die ausgeführt werden konnten jeweils einmal ausgegeben wurden. Dies konnte er indem die Rechenzeit, die im letzten Zyklus übrig geblieben ist genutzt hat, um die Berechnung zum Teil durchzuführen. Dadurch ergibt sich eine Zyklenanzahl von ca. 49.077.936 für den sechsten Task. Siehe Anhang: Projekt "FreeRTOS_Stresstest_2" für den Quellcode.

```
Task on Pin 7 toggling.
Current Tick Count: 92
Cycles: 4459584

Task on Pin 6 toggling.
Current Tick Count: 185
Cycles: 4457184

Task on Pin 5 toggling.
Current Tick Count: 278
Cycles: 4457088

Task on Pin 4 toggling.
Current Tick Count: 371
Cycles: 4457184

Task on Pin 4 toggling.
Current Tick Count: 371
Cycles: 4457184

Task on Pin 3 toggling.
Current Tick Count: 371
Cycles: 4457184

Task on Pin 3 toggling.
Current Tick Count: 1278
Cycles: 4457184

Task on Pin 3 toggling.
Current Tick Count: 464
Cycles: 4457186

Task on Pin 7 toggling.
Current Tick Count: 464
Cycles: 4457136

Task on Pin 7 toggling.
Current Tick Count: 1278
Cycles: 44576848

Task on Pin 6 toggling.
Current Tick Count: 592
Cycles: 44576848

Task on Pin 6 toggling.
Current Tick Count: 685
Cycles: 4457040

Task on Pin 5 toggling.
Current Tick Count: 1464
Cycles: 4457328

Task on Pin 5 toggling.
Current Tick Count: 1464
Cycles: 4457328

Task on Pin 2 toggling.
Current Tick Count: 1487
Cycles: 4457376

Cycles: 49077936
```

Abbildung 19: Konsolenausgabe Testprogramm 2. Pin-Ausgabe, Tickcount und Cyclecount.

3.2 Steuerung des Aktuators per EMG-Messung

Zunächst wurde der Prototyp gemessen. Das Projekt beinhaltet vier *Tasks* und einen *Interrupt*. Der *Measure*-Task führt alle 50 ms eine Messung durch. Dieser Wert wird in eine *Queue* gesendet, die vom PWM-*Task* gelesen wird. Auf Basis des übergebenen Wertes wird ein entsprechendes PWM-Signal generiert, welches wie in Quellcode 12 dargestellt durch eine *map()*-Funktion realisiert wird. Diese generiert ein PWM-Signal proportional zum Wert, den die Funktion erhält.

```
Quellcode 12: map()-Funktion zur Generierung eines PWM-Signals

pwmValue = map(receivedValue, 0, 1023, 0, 255);
```

analogWrite(PWM_PIN, pwmValue);

Für die Messung wurde ein Gleichspannungssignal angelegt. Der LED-Task setzt die interne LED auf dem Board abwechselnd auf *HIGH* und *LOW*. Die Frequenz hängt davon ab abhängig in welchem Zustand sich das Programm befindet. Im *ON*-Modus blinkt die LED einmal pro Sekunde und im *OFF*-Modus alle 100 ms. Um die ISR so kurz wie möglich zu halten, wird ein *Handler-Task* verwendet, der im Falle eines *Interrupt* entweder den *Measure*- und PWM-*Task* aktiviert oder deaktiviert. Der Handler-Task erhält eine Semaphore von der ISR, wodurch er aktiviert wird. Die ISR wird durch eine fallende Flanke an einem Pin ausgelöst. Dies wird durch einen Button realisiert.

Die Messung des Prototyps hat ergeben, dass das Programm mit vier implementierten Tasks Echtzeitfähigkeit besitzt. Der Interrupt konnte erfolgreich betätigt werden. Dieser hat den *Task* für das Messen deaktivieren bzw. aktivieren. Der verwendete Knopf hat geprellt, weshalb eine einsekündige Wartezeit bis zum nächsten Knopfdruck integriert wurde. Das analoge Signal konnte gemessen werden und wurde an den PWM-Task über eine *Queue* übergeben, um auf Basis des gemessenen Wertes ein PWM-Signal zu generieren. Dieses Signal wurde an einem PWM-fähigen Pin ausgegeben. Die Zeiten der *Task*-Abarbeitung, *Task*-Abstände und *Task*-reaktionszeiten wurden über ein Oszilloskop gemessen.

Tabelle 1: Timing-Messungen des Prototypen.

	Messung 1	Messung 2	Messung 3
Reaktionszeit Button-Klick bis Start	2,88 ms	2,88 ms	2,88 ms
der ISR			
ISR-Länge	8,84 ms	8,84 ms	8,84 ms
Reaktionszeit ISR bis zum Handler-	11,5 ms	11,5 ms	11,5 ms
Task (ON-Modus zu OFF-Modus)			
Reaktionszeit ISR bis zum Handler-	20,30 ms	20,30 ms	20,30 ms
Task (OFF-Modus zu ON-Modus)			
Abstand ISR bis zur erster	49,4 ms	49,8 ms	49 ms
Messung			
Measure-Task-Länge	848 ms	848 ms	848 ms
Measure-Task zu PWM-Task	30,9 ms	30,9 ms	30,9 ms
Abstand			
Handler-Task Länge	1,7 ms	1,7 ms	1,7 ms
PWM-Task Länge	2.66 ms	2.66 ms	2.68 ms
LED -Task Periode ON-Modus	1 s	1 s	1 s
LED-Task Periode <i>OFF</i> -Modus	100 ms	100 ms	100 ms
Abstand ISR LED (ON-Modus zu	332 ms	176 ms	668 ms
OFF-Modus)			
Abstand ISR LED (OFF-Modus zu	60 ms	44 ms	16 ms
ON-Modus)			
Measure-Task Periode	50 ms	50 ms	50 ms

Es wurden jeweils drei Messungen durchgeführt. Die zeitlichen Delays der *Tasks* wurden immer eingehalten. In dem Fall, dass ein *Interrupt* ausgelöst wird, befindet sich die LED-*Task* noch im blockierten Zustand des vorherigen Zustandes und kann diesen erst bei der nächsten Ausführung ändern. Das heißt, wenn der LED-*Task* im 1-Sekunden-Takt blinkt, die LED eingeschaltet ist und nach innerhalb des Zyklus 668 ms ein *Interrupt* getätigt, dass die LED noch 332 ms blockiert ist, bis diese in den 100 ms Rhythmus übergehen kann. Siehe Anhang: Projekt "FreeRTOS_Stresstest_3.2" für den Quellcode.

Im Projekt für den Aufbau mit dem Fingermodell wurden ähnliche *Tasks* wie beim Prototypen realisiert. Die Messung erfolgt über den EEG/EMG/EKG-*Brick*. Die Delay-Zeit vom EMG-*Task* wurde auf 20 ms reduziert. Dieser gibt wieder ein Wert in die *Queue*, aber nur falls ein Schwellenwert überschritten wird. Das PWM-Signal wurde modifiziert, um die gewünschte Auslenkung des Servomotors zu generieren. Die Auslenkung ist auch unterschiedlich groß je nach Größe des übergebenden Signals an die *Queue*. Nachdem ein Wert in die *Queue* gegeben wird, wird das PWM-Signal zum Schließen des Fingers generiert. Falls innerhalb von 300 ms kein Wert in die *Queue* gegeben wird, soll der Finger wieder geöffnet werden und anschließend das PWM-Signal auf null gesetzt werden. Die interne LED des Boards wird wieder in den selben Abständen abwechselnd auf HIGH und LOW gesetzt. Und ein *Handler-Task* wird aktiviert, nachdem ein Interrupt ausgelöst wurde.

In Abbildung 20 ist der generelle Verlauf des Programms dargestellt. Zum Start werden Variablen und der EMG-*Brick* Initialisiert. Die Initialisierung des EMG-*Bricks* läuft über das I²C Interface und braucht in der Regel mehrere Anläufe für die Initialisierung. Der AD-Wandler wird über das SPI-*Interface* eingestellt. Danach läuft ein *Setup* für das PWM-Signal [25], die *Tasks* werden erstellt und der *Scheduler* gestartet. Danach übernimmt der *Taskscheduler*. Der EMG-und LED-*Task* laufen Periodenbasiert, während Handler- und PWM-*Task* ereignisgesteuert ausgeführt werden. Durch Drücken des *Buttons* wird die ISR ausgelöst, die den *Handler* aktiviert und den Status der *Tasks* entsprechend ändert.

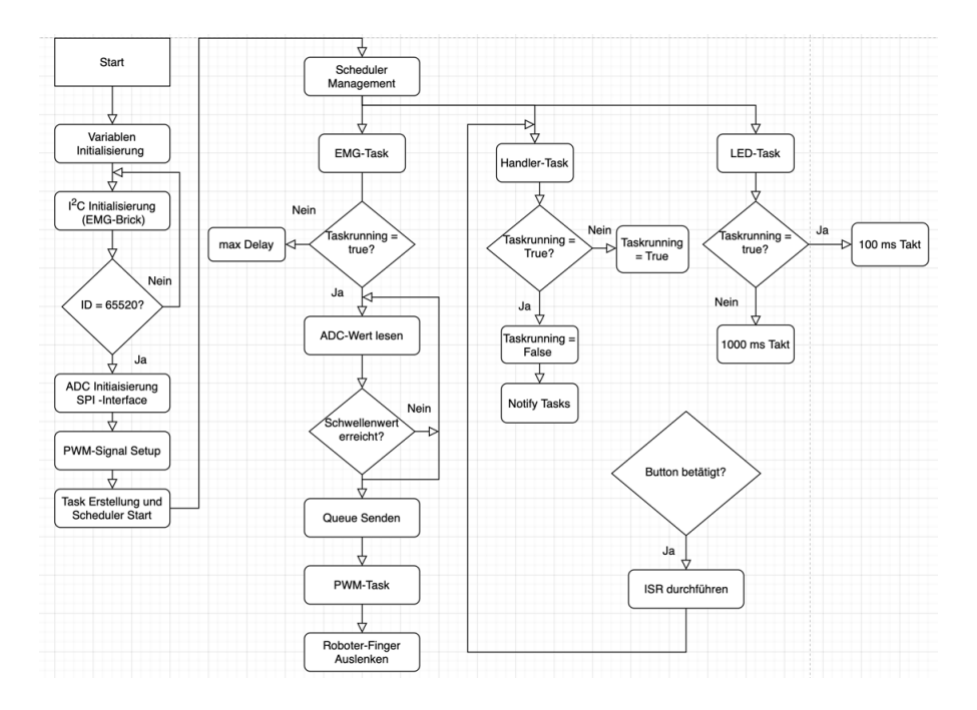


Abbildung 20: Flowchart Diagramm des Programmablaufes

Die Reaktionszeit des Systems auf ein EMG-Signal wurde überprüft. Dazu wurde das EMG-Signal über einen Verstärker (INA114AP) gemessen. In Abbildung 21 ist der Messaufbau zu sehen. An den Eingängen des Verstärkers wurde das differentielle EMG-Signal aufgenommen. Hierzu wurde eine Schaltboard verwendet, auf dem der Verstärker gesetzt wurde.

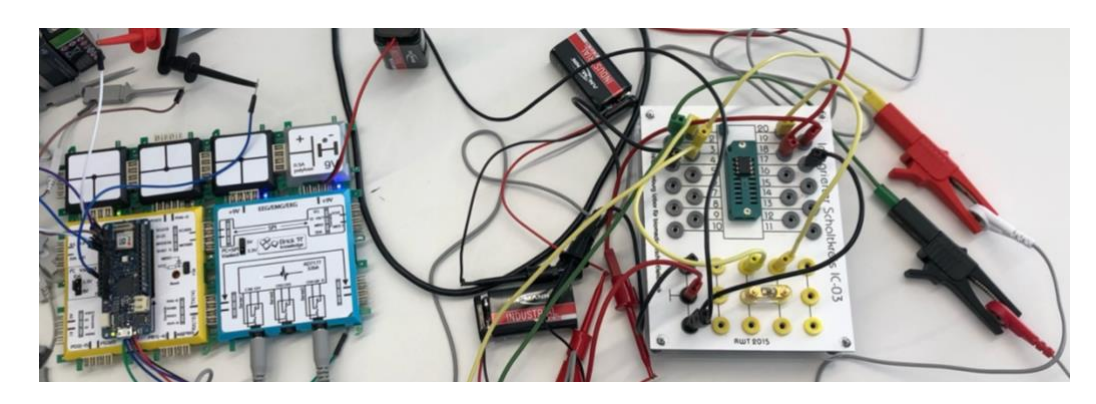


Abbildung 21: Messungsaufbau zur Ermittlung der Reaktionszeit vom EMG-Signal bis zum PWM-Signal.

In Abbildung 22 ist die Messung dargestellt. CH1 zeigt das EMG-Signal, CH2 das erzeugte PWM-Signal. Mit einer Digital-Probe wurden die Messabstände erfasst.

Wird eine ausreichende Differenz zwischen zwei Messungen festgestellt, wird das PWM-Signal ausgelöst. Die Zeit zwischen Messung und PWM-Signal beträgt 23,6 ms. Diese Zeit zeigte nach mehreren Messungen eine geringe Variation.

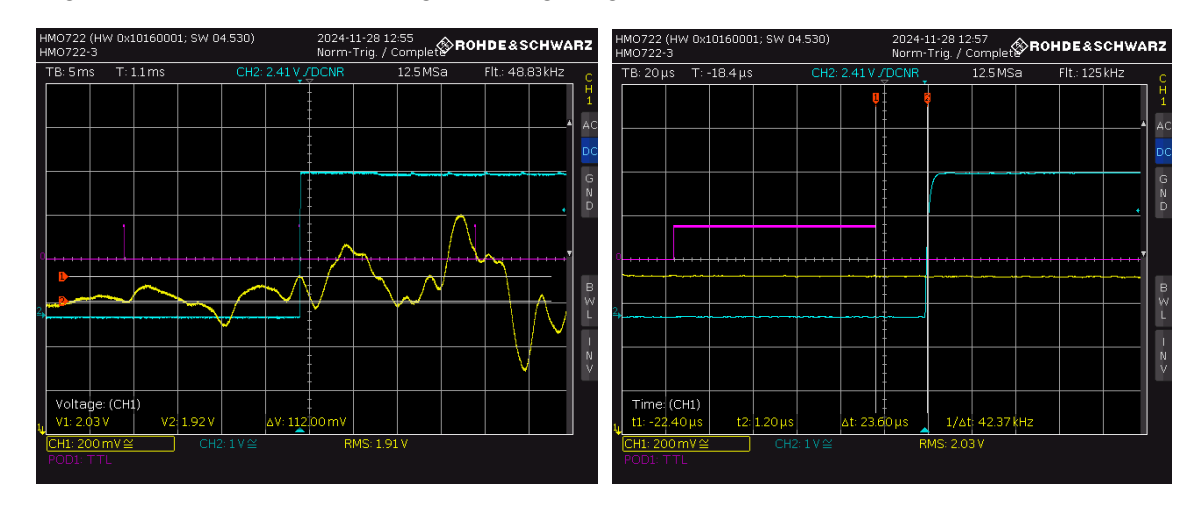


Abbildung 22: EMG-Signal (CH1), PWM-Signal (CH2), EMG-Task (Kanal 0), Messabstände und Reaktionszeit.

Im Rahmen der Vollaufbaumessung wurden die festgelegten *Timings* im Programm überprüft. Diese waren beim EMG-*Task* alle 20 ms, beim PWM-*Task* 300 ms nachdem kein Wert mehr in die *Queue* geschickt wurde und beim LED-Task 1000 ms im *ON-*Zustand und 100 ms *OFF-*Zustand. Zusätzlich wurden die Zeiten gemessen, die jeder *Task* für die Verarbeitung benötigt. Hierfür wurden einzelne Pins des Boards beim Start und Ende der Ausführung angesteuert. Diese sind in Tabelle 2 aufgeführt.

Tabelle 2: Kanal- und Pinlayout der Tasks und des Buttons.

Kanal-Nummer	Zugeordneter Task/Pin		
Kanal 0	EMG Task (Pin 0)		
Kanal 1	PWM Signal (Pin 1)		
Kanal 2	ISR Signal (Pin 3)		
Kanal 3	Handler Task (Pin 4)		
Kanal 4	LED Task (Pin 6)		
Kanal 5	Button Signal (Pin 5)		

In Abbildung 23 ist die Reaktion des Systems auf einen Knopfdruck zu sehen (Kanal 5). Die ISR (Kanal 2) wird ausgelöst, woraufhin der der *Handler-Task* (Kanal 3) ausgeführt wird. Dieser schaltet den EMG- und PWM-*Task* wieder ein und ändert den Zustand des LED-*Tasks* (Kanal 4).

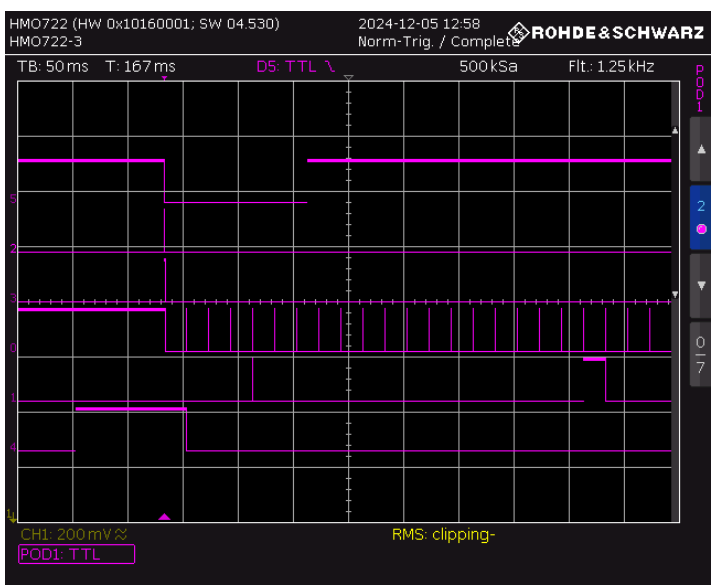


Abbildung 23 Task Ablauf nach Interrupt-Auslösung.

Kanal 2: ISR Kanal 3: Handler-Task Kanal 0: EMG-Task Kanal 1: PWM-Task Kanal 4: LED

Der Ausgang des PWM-*Tasks* wurde verändert, sodass nicht mehr die Bearbeitungsdauer des *Tasks* angezeigt wird, sondern das Umzuschalten erfolgt, sobald die Wartezeit von 300 ms überschritten wurde. Diese Wartezeit ist in Abbildung 24 dargestellt. Zudem werden dadurch auch 15 Zyklen des EMG-*Tasks* dargestellt, die auch nach exakt 300 ms abgeschlossen sind.

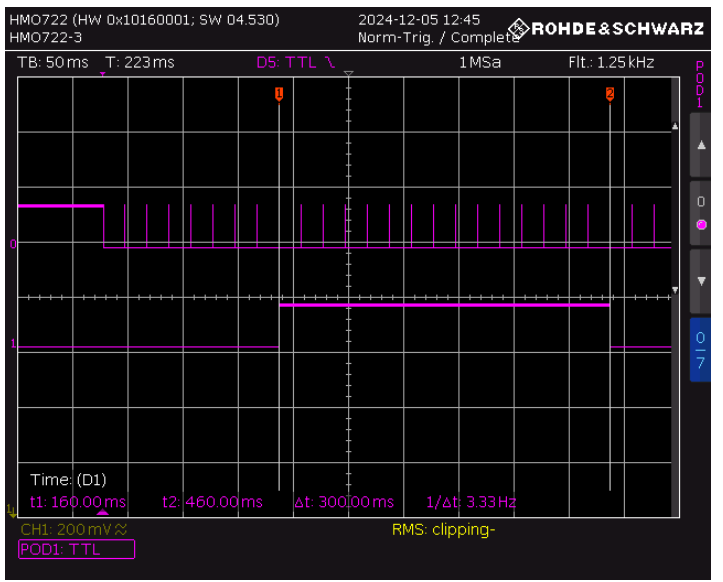


Abbildung 24: PWM-Signal Wartezeit und 10 Perioden der Messung.

Kanal 0: EMG-Task Kanal 1: PWM-Task

Tabelle 3 zeigt die Messungen der *Tasks*. Es wurde überprüft, ob die periodischen *Tasks* die festlegten Zeiten einhalten. Außerdem wurde die Ausführungsdauer der einzelnen *Tasks* und der ISR gemessen. Auch die Reaktionszeiten zwischen dem Drücken des *Buttons* und dem Start der ISR und die Zeiten zwischen der Ausführungen einzelner *Tasks* wurden gemessen.

Die festgelegten Timings wurden in allen Messungen eingehalten. Der EMG-*Task* führt alle 20 ms eine Messung durch. Der LED-Task blinkt je nach Zustand alle 100 ms oder jede Sekunde und der PWM-*Task* wartet 300 ms auf einen neuen Wert in der *Queue*. Die einzelnen Bearbeitungszeiten sind in den Messungen auch gleich lang gewesen. Es gab nur in der Zeit zwischen EMG- und PWM-*Task* eine Variation der Länge. Die kürzeste Reaktionszeit war 22 ms lang und die längste 67,6 ms. Ein ähnlicher Befund wurde auch bei der direkten Reaktionsmessung des EMG-Signals festgestellt. Siehe Anhang: Projekt "FreeRTOS_Finger_Test" für den Quellcode.

Tabelle 3: Timing-Messung des Vollaufbau

	Messung 1	Messung 2	Messung 3
Reaktionszeit Button-Klick bis Start der	2,84 ms	2,84 ms	2,84 ms
ISR			
ISR-Länge (ON-Modus zu OFF-Modus)	8,84 ms	8,84 ms	8,84 ms
ISR-Länge (OFF-Modus zu ON-Modus)	8,84 ms	8,84 ms	8,84 ms
Reaktionszeit ISR bis zum Handler-Task	11,30 ms	11,30 ms	11,30 ms
(ON-Modus zu OFF-Modus)			
Reaktionszeit ISR bis zum Handler-Task	11,30 ms	11,30 ms	11,30 ms
(OFF-Modus zu ON-Modus)			
EMG-Task Periode	20 ms	20 ms	20 ms
EMG-Task Ausführungsdauer	94 ms	84 ms	84 ms
Reaktionszeit EMG-Task bis PWM-Task	22 ms	60 ms	67,6 ms
Handler-Task Ausführungsdauer	1,61 ms	1,61 ms	1,61 ms
PWM-Task Ausführungsdauer	1,61 ms	1,61 ms	1,61 ms
PWM-Task Queue Wartezeit	300 ms	300 ms	300 ms
LED-Task Periode OFF-Modus	100 ms	100 ms	100 ms
LED-Task Periode ON-Modus	1 s	1 s	1 s

Es wurde außerdem geprüft, wie feinfühlig das System auf EMG-Signale reagieren kann und das Fingermodell entsprechend ansteuert. Die Empfindlichkeit wurde so eingestellt, so dass der Finger auf eine Fingerbewegung reagieren kann. Dieser Bewegung wurde die kleinste Auslenkung von 14% zugeordnet. Der Auslenkungsverlauf ist in Abbildung 25 dargestellt. Der Auslenkung wird von links nach rechts größer. Der Finger ist bei einer Auslenkung von 13% vollständig geöffnet. Weitere Unterstufungen konnten ebenfalls realisiert werden, sodass ein Gradient von 13-18% der Auslenkung des Servomotors mittels EMG-Messung möglich ist. Die Platzierung der Elektroden spielt dabei eine Rolle, wie gut das System reagieren kann. Diese Werte sind im Code vordefiniert und das System würde an Muskelpartien mit größeren Auslenkungen reagieren, die eine größere Potentialdifferenz vorweisen oder mit kleineren Auslenkungen dort wo die Potentialdifferenz kleiner ist.

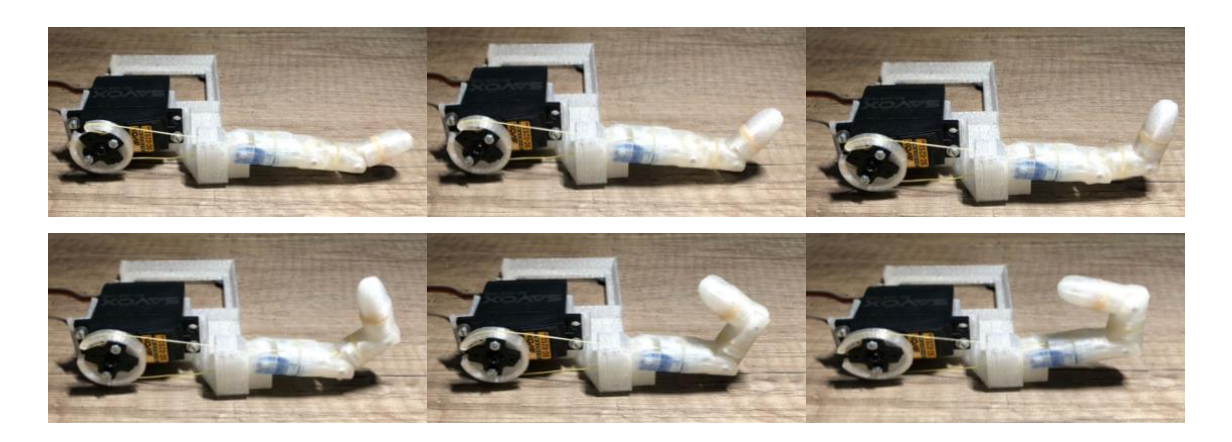


Abbildung 25: Fingermodel Auslenkungsgradient von 13-18%

Für die Bedingung, wann das PWM-Signal generiert werden soll, wurden zwei unterschiedlich Methoden verwendet. In der ersten Methode (Quellcode 13) wurde eine Differenz zwischen zwei Messungen berechnet und das Signal wurde generiert, wenn diese Differenz einen festgelegten Grenzwert überschritt.

}

Quellcode 13: Erste Mehtode zur Auslösung des EMG-Signals.

Der Absolutwert des gemessenen Wertes wurde genommen, um auch bei negativen Spannungswerten ausgelöst werden zu können. Der Servomotor konnte somit je nach stärke der Muskelkontraktion mit verschiedenen Öffnungsgraden gesteuert werden. Der *Duty-Cycle* des PWM-Signals lag dabei zwischen 14% und 18%. Die Kontraktionsstärke ist propotional zum *Duty-Cycle*.

In der zweiten Methode wurde der Absolutwert der Spannung genommen, um einen Schwellewert für das PWM-Signal zu definieren. In Quellcode 14 ist der Ansatz dargestellt. Da der Spannungswert einen leichten *Drift* und *Offset* aufwies, wurde zur Ermittlung eines verlässlichen Schwellenwertes eine Mittellung mehrerer Messungen Messungen durchgeführt.

Quellcode 14: Zweite Methode zur Auslösung des PWM-Signals

v1 = values[0] - 0x800000001;
voltage1 = ((float)v1 / (float)(0x80000000) * VREF) * 1000;
offset -= offsetBuffer[filterIndex] / filterSize;
offsetBuffer[filterIndex] = voltage1;
offset += voltage1 / filterSize;
filterIndex = (filterIndex + 1) % filterSize;
delta = voltage1 - offset;

Der binäre Wert, wird im Millivolt-Bereich skaliert und aus den zehn aktuellsten Werten wird ein gleitender Mittelwert gebildet. Der Wert wird ebenfalls mit einem vordefineirten Wert verglichen und auf Basis dessen wird das Fingermodell in unterscheidlichen Stärken geschlossen.

Beide Methoden konnten eine gezielte Auslenkung des Fingermodels erzielen, allerdings konnte insgesamt eine präzisere Ansteuerung mit der Methode der Differenzbildung zwischen zwei Werten eine präzisere Ansteuerung des Servomotors erzielt hat. Siehe Anhang: Projekt "FreeRTOS_Roboterfinger_Voltagethreshold" für den Quellcode.

4 Diskussion

Das Ziel dieser Arbeit war die Implementieren von FreeRTOS auf dem SAMD21 sowie die Steuerung eines Fingermodells mithilfe eines EMG-Signals. Die Steuerung eines Fingermodells konnte erfolgreich realisiert werden und die Implementierung konnte mithilfe eines bestehenden Ports umgesetzt werden. Die Entwicklung eines eigens kreierten Ports konnte nicht erfüllt werden.

4.1 Bewertung der Ergebnisse

Das Abschlussprojekt konnte alle vorgegebenen *Timings* einhalten. Nach Bereinigungen von einigen Fehlern, die zum Aufhängen des Programms geführt haben, konnte das Programm verwendet werden ohne abzustürzen. FreeRTOS erwies sich als geeignet um mit dem MKR WiFi 1010 Echtzeitanwendungen zu entwickeln. Im Betrieb mit dem Fingermodell wurden die festgelegten *Delay-*Zeiten eingehalten und verschiedene Funktionalitäten, wie *Tasks*, *Queues* und *Semaphoren* konnten erfolgreich eingesetzt werden.

Im ersten Stresstest zur Überprüfung der Speicherverwaltung wurde festgestellt, wie viel Speicher von *Tasks* und der *Scheduler* beansprucht wird. Außerdem konnte aus den Ergebnissen die Größe des TCBs einer Task extrapoliert werden. Der gesamte freie Speicher ist scheinbar um 8 Bytes geringer als ursprünglich festgelegt. Dies könnte auf die interne Speicherverwaltung von FreeRTOS sein zurückzuführen sein. Die *xPortGetFreeHeapSize()*-Funktion kann nur verwendet werden, wenn durch eine andere Funktion Speicher zugewiesen wurde. Das FreeRTOS-Handbuch liefert jedoch keine Erklärung für dieses Verhalten. Der *Scheduler* selbst hat 1640 Bytes beansprucht. Es gibt die Möglichkeit, dass FreeRTOS beim Start des *Schedulers* einen *Timer*- und *Idle-Task* erstellt, diese beanspruchen eine minimale *Stack*-Größe, welche in der Konfigurations-Datei auf 600 Bytes festgelegt ist. Zusammen mit der internen Datenstruktur des *Schedulers* könnte dies die gemessene Speichergröße erklären.

Im zweiten Stresstest, der das Verhalten des Systems unter Volllast untersuchen sollte, konnte festgestellt werden, dass nicht alle *Tasks* ausgeführt wurden. Dies entspricht den Erwartungen an das Verhaltens von FreeRTOS, da der *Scheduler Tasks* höherer Priorität bevorzugt und *Tasks* niedrigerer Priorität eingeschränkt oder gar nicht ausführt, wenn die Systemlast zu hoch ist.

Die Ergebnisse zeigen, dass fünf *Tasks* vollständig innerhalb der vorgegebenen 500-ms-Periode ausgeführt werden konnten. Die durchschnittliche Anzahl der Zyklen lag bei ca. 4.456.848 bis 4.459.584, was eine Konstanz in der Taskausführungszeit belegt. Die Tickzahl von 92 bis 93 Ticks bestätigt ebenfalls, dass das System stabil arbeitet. Der sechste *Task* hingegen konnte nur nach mehreren *Task*-Zyklen ausgegeben werden. Seine Zyklenzahl von 49.077.936 deutet darauf hin, dass er erst nach Abschluss von priorisierteren *Tasks* vom *Scheduler* berücksichtigt wurde. Dies geschah durch Nutzung der verbleibenden Rechenzeit, bevor der erste *Task* mit der höchsten Priorität erneut ausgegeben werden musste. Diese Beobachtungen zeigen, dass der *Scheduler* flexibel mit Restkapazitäten umgehen kann und auch *Tasks* mit niedriger Priorität nach längeren Zyklen ausgeführt werden können.

In den Tests wurden einige der Hardwarelimits in Kombination mit FreeRTOS deutlich. Um Synchronität und die Einhaltung von Timings zu gewährleisten, ist es der Realisierung von Tasks vorteilhaft, dass diese keine zu lange Ausführungszeiten kurz zu halten.

Die Messergebnisse des Prototypen und des Vollaufbaus zeigen, dass das System unter den gegebenen Bedingungen robust und echtzeitfähig arbeitet. Im Prototypen wurden die wesentlichen Funktionen erfolgreich implementiert und getestet. Die Timings der periodischen *Tasks* wurden eingehalten, sowie die korrekte Ausführung der eventbasierten *Tasks* nach Interrupt-Auslösung. Die gemessenen Reaktionszeiten und Ausführungsdauer der einzelnen *Tasks* belegen, dass die Priorisierung und Synchronisation der Tasks wie vorgesehen funktioniert.

Im Vollaufbau wurde das System erfolgreich für die Anwendung mit einem Fingermodell angepasst. Die Messungen zeigen, dass die EMG-Daten zuverlässig erfolgt und das PWM-Signal präzise auf die Muskelaktivität reagiert. Die gemessenen Timings weisen eine hohe Präzision bei der Ansteuerung des Modells auf. Das System reagiert schnell auf Muskelaktivitäten und kann durch die Erkennung feiner Unterschiede in der Muskelkontraktion verschiedene Auslenkungen des Servomotors bewirken.

4.2 Implementierung und Entwicklung

Für den SAMD21 existiert kein offizieller Port. Der Versuch, den Port des SAMD20, der zur gleichen Prozessorfamilie gehört, auf den SAMD21 zu integrieren, war nicht erfolgreich. Stattdessen wurde ein eines Drittanbieter-Port verwendet, der Änderungen im *Source-*Code beinhaltet. Dies birgt Unsicherheiten hinsichtlich der Fehlerfreiheit des Ports und der Kompatibilität mit zukünftigen FreeRTOS-Versionen. Es kann nicht ausgeschlossen werden, dass der Drittanbieter-Port reibungslos ohne *Bugs* funktioniert. Dadurch kann im speziellen

nicht sichergestellt werden, dass neuste Versionen von FreeRTOS auf dem Port übertragen werden können.

Der EEG/EMG/EKG-Brick des Brick'R'knowledge-Sets bereitete während der Entwicklung Probleme, da er häufig von der Software nicht erkannt wurde. Dadurch kam es während der Entwicklung der Programme zu Engpässen. Der Austausch des Bricks durch ein Modell aus einem anderen Set konnte das Problem beheben. Das Set soll in regulären Anwendung mit einer 9V-Batterie betrieben werden. Diese werden allerdings nach einigen Stunden Nutzung entladen, bis diese nicht mehr nutzbar sind und ausgewechselt werden müssen. Außerdem ist die 9V-Batterie der simultanen Nutzung des Vollaufbaus überlastet und kann somit für diese Anwendung nicht verwendet werden. Für die Realisierung wurde daher eine Powerbank verwendet, die nicht überlastet wird und wiederaufladbar ist, wodurch die Arbeit mit dem Kit ökonomischer wird. Eine Nutzung mit einem Funktionsgenerator war aus Sicherheitstechnischen Gründen nicht möglich.

In den Testprogrammen traten Synchronisationsprobleme auf, die dazu führten, dass Tasks gelegentllich mit falschen Prioritäten ausgeführt wurden. Dieses Problem konnte durch die Implementierung eines Befehls behoben werden, der sicherstellt, dass auf die Initialisierung der USB-Schnittstelle gewartet wird, wie in Quellcode 15 aufgezeigt.

Quellcode 15: Befehl zum Warten der USB-Schnittstelle

while(Serial!);

Außerdem zeigte die Betätigung des Buttons, dass der EMG-*Task* Ausgaben proportional zur Zeit tätigte, die seit seiner Deaktivierung vergangen war. Dieses Verhalten ist auf die Verwendung der Funktion *vTaskDelayUntil()* (Quellcode 16) im EMG-*Task* zurückzuführen. Diese Funktion erzeugt eine periodische Delay und sorgt dafür, dass die zeitliche Ausführung desTasks synchron zu einem festgelegten Startzeitpunkt bleibt.

Quellcode 16: Delay-Zeit des EMG-Tasks

vTaskDelayUntil(&xLastWakeTime, pdMS_TO_TICKS(20));

Die Funktion vTaskDelayUntil() verwendet die Variable xLastWakeTime, die mit der Tickzahl initialisiert wird, die seit dem Start des Schedulers vergangen ist [6]. Diese Variable wird mit

dem *Tickcount* gleichgesetzt seitdem der *Taskscheduler* gestartet wurde. Im Vergleich zur *vTaskDelay()*-Funktion, berücksichtigt *vTaskDelayUntil()* die Ausführungszeit des vorherigen Codes und gewährleistet so eine konstante Periodizität. Beim Deaktivieren des EMG-*Tasks* durch den *Button* und dessen anschließender Reaktivierung trat folgendes Problem auf: Der EMG-*Task* wurde ohne *Delay* solange ausgeführt, bis dieser die vergangene Zeit zwischen Deaktivierung und Reaktivierung aufgeholt hat. Dadurch, dass die Tick-Anzahl in die Variable *xLastWakeTime* gespeichert wird, trat der Fehler auf, dass wenn der EMG-*Task* durch den Button wieder aktiviert wird, kein *Delay* ausgelöst, bis der *Task* die vergangene Zeit zwischen beiden Buttonbetätigungen aufgeholt hat. Beispielsweise wurden bei einer einsekündigen Deaktivierungszeit des *Tasks* 50 aufeinanderfolgende Iterationen ausgeführt, ohne einen neuen *Delay* auszulösen. Um dieses Problem zu beheben, wurde die Variable xLastWakeTime mit der aktuellen Tickzahl gleichgesetzt. Dies bewirkt, dass die Variable nicht mehr im Verzug ist und dass dadurch nach der Reaktivierung *Delay* ausgelöst wird

Die Ansteuerung des PWM-Signal durch Differenzbildung von zwei Messwerten bietet eine einfache und effektive Realiserung auf Programmebene. Spannungsverschiebungen während der Messung haben in der Methodik keine Auswirkung darauf, ob eine Auslenkung des Fingermodells erzielt wird. Bei langanhaltenden Muskelkontrakationen großer Muskelgruppen kann es verstärkt zu Fluktuationen im EMG-Signal kommen. Dies ist darauf zurückzuführen, dass bei gleichzeitiger Aktivierung mehrerer Motoreinheiten die Signale miteinander interagieren und so zu Fluktuationen im Endsignal führen können [26]. Probleme könnten jedoch durch unterschiedlichen Gegebenheitenheiten von Elektroden, Hautoberfläche und Elektrodenplatzierung sein. Eine Methode um unterschiedlichen Faktoren bei der Messung entgegenzuwirken, könnte eine Normierung des Signals beim Start des Programmes sein. Dort könnte der Schwellenwert je nach Signal skaliert werden. So könnten Signale mit hohen oder niedriegen Differenzen eine ähnliche Systemreaktion hervorrufen. Ein weiteres theoretisches Problem bei der Differenzbildung ist, dass bei hoher Kontraktion des Muskels die Differenz zwischen zwei Messwerten dennoch zu klein ist, um eine Auslenkung zu erzeugen und somit, das Fingermodel sich nicht schließt. Dies wäre unerwünschtes Verhalten der Schaltung. In der Praxis konnte bei anhaltender hoher Kontraktion dennoch in den meisten Fällen eine Auslenkung erzielt werden. Die Variabilität zwischen zwei Messungen ist hoch genug, um das Fingermodel in den meisten Fällen geschlossen zu halten.

Der EMG-*Task* könnte durch eine häufigere Ausführung eine genauere Messung ermöglichen. Aktuell wird der *Task* alle 20 ms, ausgeführt was einer Frequenz von 50 Hz entspricht. Die wichtigsten Frequenzanteile eines EMG-Signals liegen im Bereich zwischen 50-150 Hz, weshalb eine Messrate von 200 Hz bzw. 5 ms realisiert werden sollte. Allerdings konnte das System bei dieser hohen Messfrequent das Fingermodell nciht erfolgreich auslenken. Trotz

einer Bearbeitungszeit von ca. 84 ms des EMG-Tasks, war das System nicht in der Lage dazu mit einer höheren Frequenz zu arbeiten.

4.3 Ausblick

Um eine reibungslose Entwicklung mit dem SAMD21 in Verbindung mit FreeRTOS zu ermöglichen, sollte idealerweise ein Port von Grund auf erstellt werden, der mit neuen FreeRTOS-Source-Dateien reibungslos aktualisiert werden kann. FreeRTOS bietet eine generelle Anleitung für die Portierung auf neue Mikrocontroller, allerdings sind gute Vorkenntnisse für eine erfolgreiche Portierung Empfehlenswert. Die Port-Dateien für den SAMD21 sind vorhanden, jedoch gab es Probleme beim Kompilieren. Diese Fehlermeldungen konnten in Umfang dieser Arbeit nicht gelöst werden.

Der Aufbau könnte um weitere *Tasks* erweitert werden, um zusätzliche Funktionen zu integrieren. Darunter könnten Modi-Einstellungen gemacht werden, um beispielsweise die Empfindlichkeit des Motors zu ändern. Darunter wären Anwendungen möglich, die die Steuerung eines Roboterarms ermöglichen, der dazu in der Lage ist Objekte zu greifen. In diesem Zusammenhang könnte ein Ansatz verfolgt werden, bei dem sich die Hand zangenartig schließt, um Objekte zu halten, oder ein Arm der eine Rotationsachse besitzt. Diese Anwendungen könnten auch über eine EMG-Messung gesteuert werden.

Die entwickelte Software kann auch auf anderen Mikrocontrollern verwendet werden. Wird ein Mikrocontroller mit einem offiziellen Port besitzt verwendet, kann auch sichergestellt werden, dass dieser Port gründlich getestet wurde und keine Fehler enthält. PlatformIO bietet eine Vielzahl von Mikrocontrollern, für die Quellcode entwickelt werden kann. In der ini-Datei muss lediglich die Baudrate auf das entsprechende System angepasst werden, andernfalls sollte der Quelltext Systemübergreifend kompatibel sein.

Für die Anwendung könnten Methoden Entwickelt werden, welche eine präzisere Ansteuerung des Fingermodels ermöglichen. Die EMG-Messung könnte auch mithilfe einer anderen Muskelpartie ausgeweitet werden. Es könnten verbesserte Verstärkungsschaltungen aufgebaut werden, die eine optimierte EMG-Messung ermöglichen.

Es existieren derzeit keine standardisierten Methoden zur Steuerung von Robotik mittels EMG-Signalen [27]. Die Auswahl der Methode hängt von den Anforderungen an die Steuerungspräzision und Echtzeitfähigkeit ab. Eine häufig verwendete Methode ist unter anderem die, wie auch in der Arbeit verwendete, Schwellenwertmethode. Dort werden Amplituden- oder Frequenzgrenzen festgelegt, welche als Schwellenwerte dienen, um eine Bewegung auszulösen. Diese Methode findet am häufigsten verwenden, da diese ressourcenschonend und einfach umsetzbar ist [27]. Darüber hinaus kommen zunehmend statistische und maschinelle Lernmethoden zum Einsatz. Dies ermöglicht Mustererkennung innerhalb des EMG-Signals, um Robotik-Komponenten steuern können [27,28].

In zukünftigen Projekten könnte untersucht werden, welche der in der Literatur beschriebenen Methoden eine optimierte Steuerung des Fingermodells oder ähnlicher Robotik-Anwendungen ermöglichen.

5 Literaturverzeichnis

- [1] Gridling G, Weiss B. Introduction to Microcontrollers. 1.4. Vienna University of Technology; 2007.
- [2] Arduino S.r.l. Arduino® UNO R3 Product Reference Manual 2024.
- [3] Vasudhendra Badami. A tour of the Arduino UNO board. Hackerearth 2016. https://www.hackerearth.com/blog/developers/a-tour-of-the-arduino-uno-board/ (accessed January 13, 2025).
- [4] Kamal Raj. Microcontrollers: architecture, programming, interfacing and system design. International Journal of Soft Computing and Engineering (IJSCE) 2012; Volume-2:861.
- [5] Dhaker P. Introduction to SPI Interface. Analog Dialogue 2018;52:1–5.
- [6] Barry R. Mastering the FreeRTOS[™] Real Time Kernel A Hands-On Tutorial Guide Release Version 1.1.0. Amazon.com, Inc; 2023.
- [7] Gash MC, Kandle PF, Murray I V., Varacallo MA. Physiology, Muscle Contraction 2023.
- [8] Ahmad I, Dhanbad S, Dey UK. A Review of EMG recording technique. International Journal of Engineering Science and Technology (IJEST) 2012;Vol. 4:530–9.
- [9] Day S. Important Factors in Surface EMG Measurement. Bortec Biomedical Ltd Publishers 2002:1–17.
- [10] Wang J, Tang L, E Bronlund J. Surface EMG Signal Amplification and Filtering. Int J Comput Appl 2013;82:15–22. https://doi.org/10.5120/14079-2073.
- [11] Analog Devices. AD7177-2 32-Bit, 10 kSPS, Sigma-Delta ADC with 100 µs Settling and True Rail-to-Rail Buffers 2016:60.
- [12] Appold F. Elektrophysiologische Messungen im Physikunterricht-EKG, EMG, EOG Schriftliche Hausarbeit für die erste Staatsprüfung für ein Lehramt an Gymnasien. Julius-Maximilians-Universität Würzburg, 2011.
- [13] Zahak M. Signal Acquisition Using Surface EMG and Circuit Design Considerations for Robotic Prosthesis. Computational Intelligence in Electromyography Analysis -A Perspective on Current Applications and Future Challenges, InTech; 2012. https://doi.org/10.5772/52556.
- [14] Konrad P. EMG-FIBEL Eine praxisorientierte Einführung in die kinesiologische Elektromyographie Noraxon INC. USA. Version 1.1. Noraxon INC, USA; 2011.

- [15] S. Lee JK. Biopotential Electrode Sensors in ECG/EEG/EMG Systems. Analog Devices 2008:1–2.
- [16] Brick'R'knowledge. Impressum. Brick'R'knowledge 2025. https://www.brickrknowledge.com (accessed January 13, 2025).
- [17] Arduino S.r.l. Arduino® MKR WiFi 1010 Product Reference Manual. Arduino S.r.l.; 2025.
- [18] ALLNET® GmbH Computersysteme. Brick'R'knowledge Bio Feedback Set Anleitung Rev. 1.0. Rev. 10.0. Germering: ALLNET® GmbH Computersysteme; 2019.
- [19] Arduino S.r.l. MKR WiFi 1010 Pinout. Arduino 2020:1–3. https://docs.arduino.cc/resources/pinouts/ABX00023-full-pinout.pdf (accessed January 13, 2025).
- [20] Kravets I. What is PlatformIO? GitHub 2023. https://github.com/platformio/platformio-docs/blob/develop/what-is-platformio.rst (accessed January 14, 2025).
- [21] FreeRTOS. Supported Devices. Https://WwwFreertosOrg/Documentation/02-Kernel/03-Supported-Devices/00-Supported-Devices 2025. https://www.freertos.org/Documentation/02-Kernel/03-Supported-devices/00-Supported-devices (accessed January 13, 2025).
- [22] José Bagur. Debugging SAM-Based Arduino® Boards with Atmel-ICE. Arduino 2024. https://docs.arduino.cc/tutorials/mkr-wifi-1010/atmel-ice/ (accessed January 13, 2025).
- [23] FreeRTOS. Source Organization. FreeRTOS 2025. https://www.freertos.org/Documentation/02-Kernel/06-Coding-guidelines/01-Source-code-organization (accessed January 13, 2025).
- [24] BriscoeTech. Arduino-FreeRTOS-SAMD21. GitHub 2019. https://github.com/BriscoeTech/Arduino-FreeRTOS-SAMD21 (accessed January 13, 2025).
- [25] MartinL. Changing Arduino Zero PWM Frequency. Arduino Forum 2015. https://forum.arduino.cc/t/changing-arduino-zero-pwm-frequency/334231/3 (accessed January 13, 2025).
- [26] Raez MBI, Hussain MS, Mohd-Yasin F. Techniques of EMG signal analysis: detection, processing, classification and applications. Biol Proced Online 2006;8:11–35. https://doi.org/10.1251/bpo115.

- [27] Carvalho CR, Fernández JM, del-Ama AJ, Oliveira Barroso F, Moreno JC. Review of electromyography onset detection methods for real-time control of robotic exoskeletons. J Neuroeng Rehabil 2023;20. https://doi.org/10.1186/s12984-023-01268-8.
- [28] R.A.R.C. Gopura DSVBJMPGTSSJ. Electrodiagnosis in New Frontiers of Clinical Research Recent trends in EMG-Based control methods for assistive robots. IntechOpen; 2013.

6 Anhang

~/Documents/PlatformIO/Projects/Finger_Setting_Test/platformio.ini

Printed on 7.1.2025, 2:02

```
1 ;platformio.ini
2 ;Konfig-Datei, ist für die verwendeten Projekte für die
  Tests und Messungen gleich
3
4 [env:mkrwifi1010]
5 platform = atmelsam
6 board = mkrwifi1010
7 framework = arduino
8 lib_deps = briscoetech/FreeRTOS_SAMD21@^2.3.0 ;Einbindung
  FreeRTOS-Bibliothek
9 monitor_speed = 115200 ;Baudrate
```

.

```
1
2 //Stresstest Kapitel 2.2.2.1 und 3.1
3 #include <FreeRTOS_SAMD21.h>
4 // Include FreeRTOS library
5 #include <Arduino.h>
7 //Task Nummer und Stack Größe
8 #define MAX_NUM 20
9 #define STACK_SIZE 128
10
11 // Task-Funktion
12 void vTask(void* pvParameters) {
13 uint8_t taskNum = *((uint8_t*)pvParameters);
14 for(;;)
15 {
16 Serial.print("Tasknum: ");
17 Serial.println(taskNum);
19 Serial.print("Free heap: ");
20 Serial.println(xPortGetFreeHeapSize()); //Return
  verfügbaren Heapsize
21
22 vTaskDelay(3000);
23
   }
24
25 }
26
27 void setup() {
      // Serial Initialisieren
28
29
      while (!Serial);
      Serial begin(115200);
30
      uint8_t tasknum[MAX_NUM];
31
32
33
34
35 //Schleife um Tasks zu erstellen
   for(uint8_t i = 0; i < MAX_NUM; i++)</pre>
```

```
{
37
38
           tasknum[i] = i;
39
           xTaskCreate( vTask,"Heap_Task", STACK_SIZE,
40
      (void*)&tasknum[i], 1, NULL);
           Serial.print("Free Heap nach Erstellung von Task ");
41
           Serial.print("Nr. ");
42
           Serial.println(i+1);
43
           Serial.println(xPortGetFreeHeapSize());
44
45
   }
46
       Serial.println("Starte Scheduler:");
47
48
       // Start des FreeRTOS scheduler
49
       vTaskStartScheduler();
50
51
52 }
53
54
55 void loop() {
       // Hier nichts zu tun, alles wird vom Scheduler erledigt
56
57 }
```

```
1
2 //Stresstest 2 Kapitel 2.2.2.1 und 3.1
3 #include <FreeRTOS SAMD21.h>
4 // Include FreeRTOS library
5 #include <Arduino.h>
7 //Eingestellte Delayzeiten und Pinnummern
8 #define PIN NUM 8
9 #define DELAY 500
10
11
12 const int pin[PIN_NUM] = \{0,1,2,3,4,5,6,7\}; //PIN 0-7 als
  Ausgänge
13 const int delay_time[PIN_NUM] ={10,10,10,10,10,10,10,10}; //
   gewünschte Delayzeiten
14
15 // TaskHandle_t pin_Handle; //PIN Handle hier nicht nötig
17 // Task Funktion
18 void vTaskPinControl(void *pvParameters);
19
20 void setup() {
21
      // Initialize Serial
22
      Serial begin(115200);
      while (!Serial); // Auf Serial warten
23
24
25
26 for(uint8_t i = 0; i < 8; i++)
28 pinMode(pin[i], OUTPUT);
29 xTaskCreate(vTaskPinControl, "PinTask", 128,
   (void*)&pin[i], pin[i+1], NULL);
30 }
       // Start des FreeRTOS scheduler
31
32
      vTaskStartScheduler();
33
34
```

```
35
36 }
38 void loop() {
       // Hier nichts zu tun, alles wird vom Scheduler erledigt
40 }
41
42 // Task für PIN Toggle
43 void vTaskPinControl(void *pvParameters) {
44 uint8_t pin_num = *((uint8_t*)pvParameters);
45 TickType_t xLastWakeTime;
46 uint32_t startTime = 0; // Startzeit messen
47 uint32_t endTime = 0; // Endzeit messen
48 uint32_t elapsedTime = 0;
49 // Initialisiere den letzten Aufrufzeitpunkt
50 xLastWakeTime = xTaskGetTickCount();
51 for(;;){
52
     startTime = micros(); // Startzeit messen
53
54
      volatile uint32_t stressVar = 0; //volatile variable
55
           for (int i = 0; i < 400000; i++) {
               stressVar += i * i; // Berechnung, um die CPU
56
        zu belasten
           }
57
58
           digitalWrite(pin[pin_num],
59
      digitalRead(pin[pin_num])^ 1);
           Serial.print("Task on Pin ");
60
           Serial.print(pin_num);
61
           Serial.println(" toggling.");
62
           Serial.print("Current Tick Count: ");
63
           Serial.println(xTaskGetTickCount()); // Print
64
      aktuellen tick count
65
       endTime = micros(); // Endzeit messen
66
       elapsedTime = endTime - startTime;
67
       //Serial.print(elapsedTime);
68
```

```
//Serial.println(" μs");
69
70
71
           // Berechne Zyklen
           uint32_t cycles = elapsedTime * 48; // Taktzyklen
72
      bei 48 MHz
           Serial.print("Cycles: ");
73
           Serial.println(cycles);
74
           Serial.println("");
75
           if (pin_num == 1)
76
77
           {
78
               vTaskSuspendAll();
79
    vTaskDelayUntil(&xLastWakeTime, pdMS_TO_TICKS(DELAY));
   }
81
82 }
```

```
1 //Prototypenprojekt Kapitel 3.2
2 #include <FreeRTOS_SAMD21.h>
3 #include <Arduino.h>
5 //Messpins
6 #define BUTTON_PIN 7
7 #define LED_PIN 6
8 #define PWM PIN 5
9 #define SENSOR_PIN A0
10
11 #define PWM_MEASURE_PIN 0
12 #define SENSOR_MEASURE_PIN 1
13 #define HANDLER_MEASURE_PIN 2
14 #define LED_MEASURE_PIN 3
15 #define ISR_MEASURE_PIN 4
16
17 #define DEBOUNCE_DELAY 0 // 1000 ms debounce delay
18 volatile unsigned long lastDebounceTime = 0;
19
20
21 // Global state variable um task ON/OFF-Modus zu prüfen
22 volatile bool tasksRunning = true;
23
24 // Task handles
25 TaskHandle_t interrupt_LEDHandle;
26 TaskHandle_t measureTaskHandle;
27 TaskHandle_t pwmTaskHandle;
28 TaskHandle_t handlerTaskHandle;
29
30 // Semaphore handle
31 SemaphoreHandle_t taskControlSemaphore;
32
33 // Queue für Datentransfer zwischen tasks
34 QueueHandle_t sensorQueue;
35 volatile BaseType_t xShouldSuspend = pdFALSE;
36 volatile BaseType_t xShouldResume = pdFALSE;
37
```

```
38
39 // ISR die die Semaphore an den handlerTask übergibt
40 void buttonISR() {
       digitalWrite(ISR_MEASURE_PIN,1);
41
       unsigned long currentTime = millis();
42
       if ((currentTime - lastDebounceTime) > DEBOUNCE_DELAY) {
43
           lastDebounceTime =
44
      currentTime;
                                                 // Update last
      debounce time
45
       BaseType_t xHigherPriorityTaskWoken = pdFALSE;
46
       xSemaphoreGiveFromISR(taskControlSemaphore,
47
    &xHigherPriorityTaskWoken);
       portYIELD_FROM_ISR(xHigherPriorityTaskWoken);
48
49
50
       }
51
       digitalWrite(ISR_MEASURE_PIN,0);
52 }
53
54 // ISR Handler
55 void handlerTask(void *pvParameters) {
56
       for (;;) {
57
           digitalWrite(HANDLER_MEASURE_PIN, 1);
58
           // Warte auf Semaphore von ISR
59
           if (xSemaphoreTake(taskControlSemaphore,
60
      portMAX_DELAY) == pdTRUE) {
               tasksRunning = !tasksRunning;
61
62
               if (tasksRunning) {
63
               // Serial.println("Resuming tasks...");
64
               xTaskNotifyGive(measureTaskHandle);
65
               xTaskNotifyGive(pwmTaskHandle);
66
67
                digitalWrite(HANDLER_MEASURE_PIN, 0);
68
               }
69
               else
70
```

```
{
71
                     //Serial.println("Suspending tasks...");
72
73
                    digitalWrite(HANDLER_MEASURE_PIN, 0);
74
75
                }
76
77
            }
78
        }
79
80 }
81
82
83
84 void interrupt_LED(void *pvParameters) {
85
86
            TickType_t xLastWakeTime;
87 // Initialisiere den letzten Aufrufzeitpunkt
88 xLastWakeTime = xTaskGetTickCount();
89 for(;;){
90
     digitalWrite(LED_MEASURE_PIN,
91
    digitalRead(LED_MEASURE_PIN)^ 1);
92
93
     digitalWrite(LED_PIN, digitalRead(LED_PIN)^ 1);
94 if (tasksRunning == false)
95 {
96
     vTaskDelayUntil(&xLastWakeTime, pdMS_T0_TICKS(100));
97
98
99
100 }
101 else if (tasksRunning == true)
102 {
        vTaskDelayUntil(&xLastWakeTime, pdMS_T0_TICKS(1000));
103
104
105
106
```

```
107 }
108
   }
109
110 }
111
112 void pwmTask(void *pvParameters) {
        int receivedValue;
113
114
        for (;;) {
115
116
117
            digitalWrite(PWM_MEASURE_PIN,
118
       digitalRead(PWM_MEASURE_PIN)^ 1);
119
            // Warte auf notification vom handlerTask to um
       fortzusetzen fals tasks suspended sind
120
            if(!tasksRunning)
121
122
            ulTaskNotifyTake(pdTRUE, portMAX_DELAY);
123
124
            // Warte um Messwert vom measureTask zu erhalten
125
            if (xQueueReceive(sensorQueue, &receivedValue,
       portMAX DELAY) == pdPASS)
            {
126
127
                    PWM-Signal basierend auf receivedValue
128
         generieren
                int pwmValue = map(receivedValue, 0, 1023, 0,
129
         255);
                analogWrite(PWM_PIN, pwmValue);
130
131
            // Debugging output
132
            //Serial.print("PWM adjusted to: ");
133
            // Serial.println(pwmValue);
134
135
136
             digitalWrite(PWM_MEASURE_PIN,
137
       digitalRead(PWM_MEASURE_PIN)^ 1);
```

4

```
138
        }
139
140
141 }
142
143 // Task um analoges SIgnal zu messen
144 void measureTask(void *pvParameters) {
        int sensorValue;
145
        TickType_t xLastWakeTime;
146
147
        xLastWakeTime = xTaskGetTickCount();
        for (;;) {
148
149
150
            digitalWrite(SENSOR_MEASURE_PIN,1); //Measure Output
151
            // Warte auf notification vom handlerTask to um
       fortzusetzen fals tasks suspended sind
152
            if(!tasksRunning)
153
            ulTaskNotifyTake(pdTRUE, portMAX_DELAY);
154
            xLastWakeTime = xTaskGetTickCount(); //Reset
155
       Tickcount damit kein Backlog von vTaskDelayUntil()
       entsteht
            }
156
157
158
            // Sensorwert lesen
159
            sensorValue = analogRead(SENSOR_PIN);
160
161
            // Sensorwert an PWM-task senden
162
            xQueueSend(sensorQueue, &sensorValue, 0);
163
164
            // Debugging output
165
            //Serial.print("Sensor value: ");
166
           // Serial.println(sensorValue);
167
168
169
            digitalWrite(SENSOR_MEASURE_PIN,0);
170
            // Wait 50 ms
171
```

```
172
173
            vTaskDelayUntil(&xLastWakeTime, pdMS_T0_TICKS(50));
        }
174
175 }
176
177
178 void setup() {
179
        Serial begin(115200);
        delay(100);
180
181
        // Set up pin
        pinMode(BUTTON_PIN, INPUT_PULLUP);
182
        pinMode(ISR_MEASURE_PIN, OUTPUT);
183
        pinMode(LED_MEASURE_PIN, OUTPUT);
184
185
        pinMode(PWM_MEASURE_PIN, OUTPUT);
        pinMode(HANDLER_MEASURE_PIN, OUTPUT);
186
187
        pinMode(SENSOR_MEASURE_PIN, OUTPUT);
188
189
190
       //Queue für Datentransfer
191
        sensorQueue = xQueueCreate(10, sizeof(int));
        if (sensorQueue == NULL) {
192
            Serial.println("Queue creation failed!");
193
194
            while (1); // Stop here if queue creation failed
195
        }
196
        // Initialisiere die semaphore
197
        taskControlSemaphore = xSemaphoreCreateBinary();
198
199
200
201
        // Taskkreierung
202
        xTaskCreate(measureTask, "Measuretask", 128, NULL, 3,
203
     &measureTaskHandle);
        xTaskCreate(pwmTask, "pwmTask", 128, NULL, 2,
204
     &pwmTaskHandle);
        xTaskCreate(interrupt_LED, "interrupt_LED", 128, NULL,
205
     1, &interrupt_LEDHandle);
```

6

```
xTaskCreate(handlerTask, "HandlerTask", 128, NULL, 4,
206
     &handlerTaskHandle);
207
208
       //ISR wenn Button triggered
       attachInterrupt(digitalPinToInterrupt(BUTTON_PIN),
209
     buttonISR, FALLING);
210
211
       // Start des FreeRTOS scheduler
       vTaskStartScheduler();
212
213 }
214
215 void loop() {
      // Hier nichts zu tun, alles wird vom Scheduler erledigt
217 }
```

```
1 //Kapitel 2.2.3 und 3.2 Vollaufbaumessung
2 #include <FreeRTOS_SAMD21.h>
3 // Include FreeRTOS library
5 #include <Arduino.h>
6 #include <Wire.h> // Definitionen laden fuer I2C
7 #include <SPI.h>
8 #include <avr/pgmspace.h> // weitere Definitionen
10
11
12 //Setup for Brick'N'Knowledge System Literaturverweis [16]
13
14 #ifdef ARDUINO_SAMD_MKRWIFI1010
15 #define __AVR_SAMD21__
16
17 #endif
18
19
20 // Alle Adressen bei den 8574xx bricks:
21 #define i2cI09534_0 (0x40>>1) // Trick um elegant mit Bytes
22 #define i2cI09534 1 (0x42>>1) // zu arbeiten statt in 7 Bit
23 #define i2cI09534_2 (0x44>>1) // das letzte Bit ist das R/W
24 #define i2cI09534_3 (0x46>>1) // dass von der Arduino
25 #define i2cI09534_4 (0x48>>1) // Bibliothek dazugefuegt wird
26 #define i2cI09534_5 (0x4A>>1) // wir definieren hier alle
27 #define i2cI09534_6 (0x4C>>1) // Bereiche die man mit den
28 #define i2cI09534_7 (0x4E>>1) // Bricks einstellen kann,.
30 #define i2cI09534A 0 (0x70>>1) // Die Serie PCF8474AT
31 #define i2cI09534A_1 (0x72>>1) // beginnt bei Adresse
32 #define i2cI09534A_2 (0x74>>1) // 0x70 = 70 sedezimal
33 #define i2cI09534A 3 (0x76>>1) // 01110000 binaer
34 #define i2cI09534A_4 (0x78>>1) // oder intern 0111000
35 #define i2cI09534A_5 (0x7A>>1) // dabei 0111xxx
36 #define i2cI09534A 6 (0x7C>>1) // mit x fuer die
37 #define i2cI09534A_7 (0x7E>>1) // Dilschalterposition
```

```
38
39 #define myi2cIOadr i2cIO9534_0 // HIER PASSENDE ADRESSE
  EINTRAGEN
40
41 #define SSPB 10 // Pin 10 = SS - --- PB2 1<<2 als Maske
43 // SPI: SCLK MOSI MISO und SS Brick=PB2 D10 fest !!
44 // MEGA Pin 51=MOSI Pin 52=SCK und Pin50=MISO °!!!
45 // mega:
46 // NANO: MOSI:PB3 D11, MISO: PB4 D12, -SS:PB2:D10
47 // UNO: MOSI: PB3 D11, MISO: PB4 D12, -SS:PB2:D10
48 // ACHUNG: MISO ist auch STatus DATA READY !!!
49 //
50 // PORTB 4 (7 6 5 4 -- 3 2 1 0)
51 // BEI MKR PD6
52
53 #if defined(__AVR_ATmega2560__) // Arduino MEGA2560
54 #define MISOPIN 50
55 #warning ("INFO: compiles for AT MEGA2560")
56 #elif defined(__AVR_SAMD21__)
57 #warning ("INFO: compiles for MKR WIFI1010")
58 #define MISOPIN 2 // READ ONLY MKR ueber Diode...
59 #else // NANO
60 #warning ("INFO : compiles rest: also NANO...")
61 #define MISOPIN 12
62 #endif
63
64 // #define MISOPIN 50
66 void enabless()
67 {
68
     //digitalWrite(SSPB, LOW);
69
    #if defined( AVR SAMD21 )
70
      digitalWrite(7, LOW);
71
    #else
     PORTB &= 0xfb; // Default = high 7 6 5 4 3 2low 1 0 PB2
72
    low
```

```
73
     #endif
74
     delayMicroseconds(10);
75 }
76 void disabless()
77 {
     delayMicroseconds(10);
78
79
     #if defined(__AVR_SAMD21__)
       digitalWrite(7, HIGH);
80
     #else
81
82
       PORTB |= 1 << 2; // Default = high bit2 PB2
     #endif
83
     // digitalWrite(SSPB, HIGH);
84
     delayMicroseconds(10);
86
     //
87 }
88
89 //AD 7177-x
90 // Register
91 // SS:----
92
93 //
94 unsigned short ad71_readid()
95 {
96
    unsigned char ch1;
     unsigned short val1=0;
97
     enabless();
     ch1 = SPI.transfer(0x47); // COmm: -wen r-w ra5...9 r-1=1
    read 0=writ
     val1 = SPI.transfer16(0); // ID
100
101
     disabless();
     return(val1);
102
103 }
104
105 //
106
107 //
108 #define NOCHAN 1
```

```
109
110 void ad71_init()
111 {
      enabless();
112
      // Register setzen...
113
      SPI.transfer(0x01); SPI.transfer16(0x800C); //
    ADCMODE ! ref en, mode continouus, clock Crystal : 100 00
    000 0 000 11 00
      SPI.transfer(0x02); SPI.transfer16(0x0442); //
115
    INTERFACE MOD data_stat(6)en w32 en --- 000 0
          0 0 00 1 0 old 0x0042
      SPI.transfer(0x06); SPI.transfer16(0x060d); // GPIO 000
116
    0 0 11 0
               0 0 00 1101
      // Channel 0
117
      SPI.transfer(0x10); SPI.transfer16(0x8001); // CH0
118
    enable set0 ain0 ain1 ... 10 00 00 00 000 0 0001
119
      // Channel 1
      SPI.transfer(0x11); SPI.transfer16(0x0043); // CH1
120
    enable set0 ain2 ain3 ... 10 00 00 00 010 0 0011
      // Channel 2
121
122
      SPI.transfer(0x12); SPI.transfer16(0x0096); // CH2
    enable set0 ain4 ref- ... 10 00 00 00 100 1 0110
123
      // Channel 3 optional
      SPI.transfer(0x13); SPI.transfer16(0x0232); // CH3
124
    enable set0 smp+ tmp- ... 10 00 00 10 001 1 0010
125
      // alle gleiches setup daher setup 0
126
      // SETup registers.
      SPI.transfer(0x20); SPI.transfer16(0x1300); // SET0:
127
    000 1 0 0 1 1 0 0 00 0000
      SPI_transfer(0x21); SPI_transfer16(0x1300); // SET1:
128
    000 1 0 0 1 1 0 0 00 0000
      SPI.transfer(0x22); SPI.transfer16(0x1300); // SET2:
129
    000 1 0 0 1 1 0 0 00 0000
      SPI.transfer(0x23); SPI.transfer16(0x1300); // SET3:
130
    000 1 0 0 1 1 0 0 00 0000
      // Filter Config gehoeren zu setup reg
131
      SPI transfer(0x28); SPI transfer16(0x050e); // FLT0 : 0
132
```

```
x 00 0 1010 sps (00111 10k 01000 5k...)
     000 0 101
      SPI transfer(0x29); SPI transfer16(0x050a); // FLT1 : 0
133
                 x 00 0 1010 sps (00111 10k 01000 5k...)
      SPI.transfer(0x2A); SPI.transfer16(0x050a); // FLT2: 0
134
     000 0 101
                 x 00 0 1010 sps (00111 10k 01000 5k...)
       SPI.transfer(0 \times 2B); SPI.transfer16(0 \times 050a); // FLT3 : 0
135
     000 0 101 x 00 0 1010 sps (00111 10k 01000 5k...)
      // OFFSET und GAIN auf factory lassen...
136
      disabless();
137
138
139 }
140
141 unsigned long values[4];
142
143
144
145 void ad71_reset()
146 {
147
     enabless();
148
     SPI.transfer(0xff);
149
     SPI transfer(0xff);
     SPI.transfer(0xff);
150
151
     SPI.transfer(0xff);
152
     SPI.transfer(0xff);
     SPI.transfer(0xff);
153
     SPI.transfer(0xff);
154
     SPI transfer(0xff);
155
156
     disabless();
     delayMicroseconds(550);
157
158 }
159
160
161 void ad71_dataread()
162 {
163
     // Wenn ready incl status 4 byts 32 bit
164
     // STATUS
     unsigned char sts;
165
```

```
unsigned char ch1;
166
      unsigned long val1=0;
167
      unsigned long val2=0;
168
     unsigned int idx;
169
      static int first = 0;
170
171
      int val=0;
172
      int i=0;
      for (i=0; i<NOCHAN;i++) {</pre>
173
        // SYNC:
174
175
        // NICHT RDY Abfragen,,,
176
     #ifdef XXXXXX
        enabless();
177
178
        do {
179
          sts = SPI_transfer(0x40);
180
181
          sts = SPI transfer(0 \times 00);
182
           delayMicroseconds(10);
           // Serial.print(sts);
183
184
           // Serial.println("S wt:");
185
        } while (((sts & 0 \times 80)== 0 \times 80) && (first == 1));
186
        first = 1;
187
        disabless();
188
189 #endif
190
        // DATA RDY
191
        delayMicroseconds(10);
192
        //
193
        enabless();
194
195
        delayMicroseconds(4); // DRDY valid...
        // SINGLE MODE SPI.transfer(0x01);
196
     SPI.transfer16(0x801C); // ADCMODE ! ref en, mode SINGLE,
     clock Crystal : 100 00 000 0 000 11 00
197
        //
198
        // Sonst abfragen hier immer...
199
          val = digitalRead(MISOPIN); // MISOPIN
200
```

```
} while (val == HIGH);
201
202
203
        ch1 = SPI.transfer(0x44); // COmm: data read
204
205
        //
206
        val1 = SPI.transfer16(0); // data <</pre>
207
        val2 = SPI.transfer16(0); // data
208
        //
209
210
211
        //
        delayMicroseconds(5); // DRDY valid...
212
213
        disabless();
214
        //
215
        val1 = val2 | (val1 << 16); // 4 bit status</pre>
        idx = val2 \& 0x3; // CHANNEL FLG bit 3210
216
217
        values[idx] = val1 & 0xfffffff0;
218
     }
219
220 }
221
222 //Setup Brick'N'Knowledge end
223
224
225
226
227 //Pin Number Defines
228 #define BUTTON_PIN 5
229 #define LED_PIN 6
230 #define PWM_PIN 7
231 #define SENSOR_PIN A0
232
233 //Measure pins
234 #define SENSOR_MEASURE_PIN 0
235 #define PWM_MEASURE_PIN 1
236 #define ISR_MEASURE_PIN 3
237 #define HANDLER_MEASURE_PIN 4
```

′

```
238 //#define LED_MEASURE_PIN 5
239
240 #define STACK_SIZE 200
241 #define VREF 2.5 // Reference Spannung in Volt
242
243 #define DEBOUNCE_DELAY 1000 // 1000 ms debounce delay für
   den Button
244 volatile unsigned long lastDebounceTime = 0;
246 // Global state variable um task ON/OFF-Modus zu prüfen
247 volatile bool tasksRunning = true;
248
249 // Task handles
250 TaskHandle_t interrupt_LEDHandle;
251 TaskHandle_t ReadEMGHandle;
252 TaskHandle t pwmTaskHandle;
253 TaskHandle_t handlerTaskHandle;
254
255
256
257 // Queue um Daten zwischen tasks zu senden
258 QueueHandle t sensorQueue;
259 volatile BaseType_t xShouldSuspend = pdFALSE;
260 volatile BaseType_t xShouldResume = pdFALSE;
261
262 // Semaphore handle
263 SemaphoreHandle_t taskControlSemaphore;
264
265 // Prototypen der Task-Funktionen
266 void buttonISR(); //ISR Triggered durch Button Press
267 void vHandlerTask(void *pvParameters); //Handler nach ISR
268 void vTaskReadEMG(void *pvParameters); // Liest Value des
269 void vControl_LED(void *pvParameters); //LED für visuellen
   Feedback on Mode Switch ON/OFF
270 void vPWMTask(void *pvParameters); // PWM erhält wert von
   ReadEMG
```

```
271
272
273
274
275 void setup() {
     // Setze die Pins auf Output
276
277
278
        // Set up button pin
        pinMode(BUTTON_PIN, INPUT_PULLUP);
279
280
281
        //Set up measure Pins
        pinMode(ISR_MEASURE_PIN, OUTPUT);
282
283
        //pinMode(LED_MEASURE_PIN, OUTPUT);
284
        pinMode(PWM_MEASURE_PIN, OUTPUT);
285
        pinMode(HANDLER_MEASURE_PIN, OUTPUT);
286
        pinMode(SENSOR MEASURE PIN, OUTPUT);
287
        pinMode(PWM_PIN, OUTPUT);
288
289
         delay(100);
290
     while (!Serial); //Wait for Serial
291
292
293
     Serial begin(115200);
294
     Serial.println("Starting EEG:");
295
     #if defined(__AVR_SAMD21__)
296
297
      pinMode(MISOPIN, INPUT); // MISO !!
298
       pinMode(7, OUTPUT);
     #else
299
       pinMode(12, INPUT); // MISO !!
300
301
       pinMode(SSPB, OUTPUT);
      #endif
302
     disabless();
303
304
305
306
     Wire.begin(); // I2C aktivieren !
307
```

```
308
     Wire.beginTransmission(myi2cIOadr);// Startvorgang I2C
    Adresse
309
     Wire.write(0x03); // IO Ports auf 01010101 abwechseln
     Wire write(0xF0); // 1=input
310
     Wire.endTransmission(); // Stop Kondition setzen bei I2C
311
     Wire.beginTransmission(myi2cI0adr);// Startvorgang I2C
    Adresse
     Wire.write(0x01); // IO Ports auf 01010101 abwechseln
313
     Wire write(0 \times 0 f); // led an !!
314
315
     Wire.endTransmission(); // Stop Kondition setzen bei I2C
     // INIT
316
317
     SPI begin();
     SPI.beginTransaction(SPISettings(7000000, MSBFIRST,
318
    SPI_MODE3));
     // NICHT VERWENDEN:
319
320
     //SPI.setDataMode(SPI MODE3); // sonst immer 1
                                                           clk
                   rising edhe = spi mode 3 krit mkr'
     //SPI.setClockDivider(8);
321
322
323
     Serial.println("Searching EEG:");
324
     unsigned short id=ad71_readid(); // 0x4fdx
325
326
     while ((id & 0xfff0)!= 0x4fd0) {
327
         Serial.print("ERROR id=");Serial.print(id);
         Serial.println(" EEG Brick not found");
328
        Wire.beginTransmission(myi2cIOadr);// Startvorgang I2C
329
     Adresse
        Wire.write(0x01); // IO Ports auf 01010101 abwechseln
330
        Wire write(0x07); // led an !!
331
        Wire.endTransmission(); // Stop Kondition setzen bei
332
     I2C
333
         delay(100);
        Wire.beginTransmission(myi2cIOadr);// Startvorgang I2C
334
     Adresse
        Wire.write(0x01); // IO Ports auf 01010101 abwechseln
335
        Wire write (0 \times 0 f); // led an !!
336
        Wire.endTransmission(); // Stop Kondition setzen bei
337
```

```
I2C
         delay(100);
338
         id=ad71_readid(); // 0x4fdx
339
340
     }
341
     Serial.print("id=");Serial.println(id);
342
     // OK Init dr Register
343
     ad71_reset();
344
     ad71_init();
345
346
      //Queue für Datentransfer
347
        sensorQueue = xQueueCreate(10, sizeof(int));
348
349
350
        if (sensorQueue == NULL) {
351
352
            Serial.println("Queue creation failed!");
353
            while (1);
354
        }
355
356
       // Initialize die Semaphore
357
       taskControlSemaphore = xSemaphoreCreateBinary();
358
359
     //PWM Set-up Literaturverweis [24]
360
        REG_GCLK_GENDIV = GCLK_GENDIV_DIV(1) |
361
                                                          //
     Divide the 48MHz clock source by divisor 1: 48MHz/1=48MHz
                        GCLK_GENDIV_ID(4);
362
                                                       // Select
            Generic Clock (GCLK) 4
     while (GCLK->STATUS bit SYNCBUSY);
                                                        // Wait
363
    for synchronization
364
     REG_GCLK_GENCTRL = GCLK_GENCTRL_IDC |
365
                                                       // Set
    the duty cycle to 50/50 HIGH/LOW
                         GCLK_GENCTRL_GENEN |
                                                        // Enable
366
             GCLK4
                         GCLK_GENCTRL_SRC_DFLL48M | // Set
367
             the 48MHz clock source
```

```
GCLK_GENCTRL_ID(4);
                                                    // Select
368
            GCLK4
                                                     // Wait
369
     while (GCLK->STATUS.bit.SYNCBUSY);
    for synchronization
370
     // Enable the port multiplexer for the digital pin D7
371
   PORT-
372
    >Group[g_APinDescription[7].ulPort].PINCFG[g_APinDescriptio
    n[7].ulPin].bit.PMUXEN = 1;
373
374
     // Connect the TCC0 timer to digital output D7 - port
375
    pins are paired odd PMUO and even PMUXE
376
     // F & E specify the timers: TCC0, TCC1 and TCC2
     PORT-
377
    >Group[q APinDescription[6].ulPort].PMUX[q APinDescription[
    6].ulPin >> 1].reg = PORT_PMUX_PMUXO_F;
378
379
     // Feed GCLK4 to TCC0 and TCC1
380
     REG_GCLK_CLKCTRL = GCLK_CLKCTRL_CLKEN | // Enable
    GCLK4 to TCC0 and TCC1
                        GCLK CLKCTRL GEN GCLK4 |
381
                                                     // Select
            GCLK4
382
                        GCLK_CLKCTRL_ID_TCC0_TCC1; // Feed
            GCLK4 to TCC0 and TCC1
     while (GCLK->STATUS.bit.SYNCBUSY);
383
                                                     // Wait
    for synchronization
384
     // Dual slope PWM operation: timers countinuously count
385
    up to PER register value then down 0
     REG_TCC0_WAVE |= TCC_WAVE_POL(0xF) |
                                          // Reverse
386
    the output polarity on all TCC0 outputs
387
                       TCC WAVE WAVEGEN DSBOTH; // Setup
            dual slope PWM on TCC0
                                                   // Wait
388
     while (TCC0->SYNCBUSY.bit.WAVE);
    for synchronization
389
```

```
390
     // Each timer counts up to a maximum or TOP value set by
    the PER register,
391
     // this determines the frequency of the PWM operation:
392
     REG_TCCO_PER = 239999;  // Set the frequency of
    the PWM on TCC0 to 250kHz
     while (TCC0->SYNCBUSY.bit.PER);
393
                                                  // Wait
    for synchronization
394
     // Set the PWM signal to output 50% duty cycle
395
396
    on D7
397
    while (TCC0->SYNCBUSY.bit.CC3);
                                                  // Wait
    for synchronization
398
399
400
      REG TCC0 CC3 = (239999 * 13) / 100;
                                                   // TCC0
    CC1 - 17% duty cycle on D5
     while (TCC0->SYNCBUSY.bit.CC3);
401
     // Divide the 48MHz signal by 1 giving 48MHz (20.83ns)
402
    TCC0 timer tick and enable the outputs
403
     REG_TCCO_CTRLA |= TCC_CTRLA_PRESCALER_DIV1 | // Divide
    GCLK4 by 1
404
                      TCC_CTRLA_ENABLE;
                                                   // Enable
           the TCC0 output
     while (TCC0->SYNCBUSY.bit.ENABLE);
                                                   // Wait
405
    for synchronization
406
407
     //Code Source https://forum.arduino.cc/t/changing-arduino-
    zero-pwm-frequency/334231/3
408
409
410
411
     // Erstelle die FreeRTOS Tasks
     xTaskCreate(vTaskReadEMG, "ReadEMG", STACK_SIZE, NULL, 3,
412
    &ReadEMGHandle);
     xTaskCreate(vPWMTask, "pwmTask", STACK_SIZE, NULL, 2,
413
    &pwmTaskHandle);
```

```
xTaskCreate(vControl_LED, "interrupt_LED", STACK_SIZE,
414
    NULL, 1, &interrupt_LEDHandle);
     xTaskCreate(vHandlerTask, "HandlerTask", STACK_SIZE,
415
    NULL, 4, &handlerTaskHandle);
416
417
     //ISR wenn Button triggered
418
     attachInterrupt(digitalPinToInterrupt(BUTTON_PIN),
419
    buttonISR, FALLING);
420
     // Starte den Scheduler
421
422
     vTaskStartScheduler();
423 }
424
425 void loop() {
     // loop bleibt leer, da FreeRTOS den Scheduler benutzt
427 }
428
429
430 void vTaskReadEMG(void *pvParameters) {
431
     TickType_t xLastWakeTime;
432
     int32 t sensorValue = 0;
433
     float voltage1 = 0.0f;
     xLastWakeTime = xTaskGetTickCount();
434
     long v1 = 0; // Adjust for two's complement
435
     long delta = 0;
436
437
     for (;;) {
438
439
            digitalWrite(SENSOR_MEASURE_PIN,1); //Measure Output
440
441
442
            // Warte auf Notification vom Handler-Task
443
            if(!tasksRunning)
444
445
            ulTaskNotifyTake(pdTRUE, portMAX_DELAY);
446
            xLastWakeTime = xTaskGetTickCount(); //Reset
447
```

```
Tickcount damit kein Backlog von vTaskDelayUntil()
       entsteht
            }
448
449
        delta = values[0] - 0 \times 8000000001;
450
        ad71_dataread(); // EMG-Daten einlesen
451
452
        // Read values from CH0 and CH1
453
       v1 = values[0] - 0x8000000001; // Adjust for two's
454
     complement
        voltage1 = ((double)v1 / (double)(0x80000000) * VREF) *
455
     1000; // Skalierung von -VREF to +VREF in mV
456
       // v2 = values[1] - 0x800000001;
        sensorValue = v1;
457
458
459
460
461
        delta = delta - v1; //delta zwischen letzten Einlesen
462
     und aktuellem
463
464
        if (abs(delta) > 40000)
465
466
           xQueueSend(sensorQueue, &sensorValue, 10);
467
468
        }
469
470
        //Serial.print("CH0 Voltage: ");
471
      Serial.print(voltage1, 6); Serial.println("mV ");
472 /*
        //Debug Outputs
473
       if (counter > 50)
474
475
        Serial.println("Measure Task ");
476
        Serial.print("CH0 Voltage: "); Serial.print(voltage1,
477
     6); Serial.println("mV"); // 6 decimal places
```

```
Serial.print("CH0: "); Serial.println(v1);
478
479
        Serial.print("delta"); Serial.println(delta);
      // Serial.print("CH1: "); Serial.println(v2);
480
        counter = 0;
481
482
        }
483
484 counter++;
485 */
486
487
488
    digitalWrite(SENSOR_MEASURE_PIN,0); //Measure Output
        // Delay for 20ms before the next read
489
490 vTaskDelayUntil(&xLastWakeTime, pdMS_TO_TICKS(20));
491
492
493
      }
494
495 }
496
497 // ISR die die Semaphore an den handlerTask übergibt
498 void buttonISR() {
        digitalWrite(ISR_MEASURE_PIN,1);
499
500
501
        unsigned long currentTime = millis();
        if ((currentTime - lastDebounceTime) > DEBOUNCE_DELAY) {
502
503
            lastDebounceTime =
504
       currentTime;
                                                   // Update last
       debounce time
505
        BaseType_t xHigherPriorityTaskWoken = pdFALSE;
506
        xSemaphoreGiveFromISR(taskControlSemaphore,
507
     &xHigherPriorityTaskWoken);
        portYIELD_FROM_ISR(xHigherPriorityTaskWoken);
508
509
        }
510
511
```

```
digitalWrite(ISR_MEASURE_PIN,0);
512
513
514
515 }
516
517 // ISR Handler
518 void vHandlerTask(void *pvParameters) {
519
        for (;;) {
520
521
522
             // Warte auf Semaphore von ISR
            if (xSemaphoreTake(taskControlSemaphore,
523
       portMAX_DELAY) == pdTRUE) {
524
                digitalWrite(HANDLER_MEASURE_PIN, 1);
525
                tasksRunning = !tasksRunning;
526
527
                if (tasksRunning) {
528
                     Serial.println("Resuming tasks...");
                xTaskNotifyGive(ReadEMGHandle);
529
                xTaskNotifyGive(pwmTaskHandle);
530
531
                 digitalWrite(HANDLER_MEASURE_PIN, 0);
532
                }
533
534
                else
                {
535
                     Serial.println("Suspending tasks...");
536
537
                     digitalWrite(HANDLER_MEASURE_PIN, 0);
538
539
                }
540
541
542
            }
543
544
545
546
        }
547
```

```
548 }
549
550 void vControl_LED(void *pvParameters) {
551
552 int32_t receivedValue;
553 TickType_t xLastWakeTime;
554 const TickType_t xTimeout = pdMS_T0_TICKS(300);
555 // Initialisiere den letzten Aufrufzeitpunkt
556 xLastWakeTime = xTaskGetTickCount();
557 for(;;){
    //digitalWrite(LED_MEASURE_PIN,1);
558
559
560
561
562
563 if (tasksRunning == false )
564 {
565
     digitalWrite(LED_PIN, digitalRead(LED_PIN)^ 1);
566
     vTaskDelayUntil(&xLastWakeTime, pdMS_T0_TICKS(100));
567
568
     //digitalWrite(LED_MEASURE_PIN,0);
569 }
570 else if (tasksRunning == true)
571 {
        digitalWrite(LED_PIN, digitalRead(LED_PIN)^ 1);
572
       vTaskDelayUntil(&xLastWakeTime, pdMS_T0_TICKS(1000));
573
574
      // digitalWrite(LED_MEASURE_PIN,0);
575
576 }
577
578
    }
579
580
581 }
582
583 void vPWMTask(void *pvParameters) {
584
        int32_t receivedValue;
```

```
585
       TickType_t xLastWakeTime = xTaskGetTickCount();
        const TickType_t xTimeout = pdMS_T0_TICKS(300); //
586
     Delay um auf die zu warten Queue
        bool tasksRunning = true;
587
        bool isFingerOpened = false;
588
589
       for (;;) {
590
591
592
          digitalWrite(PWM_MEASURE_PIN,1); //Measure Output
593
594
            // Warte auf notification vom handlerTask to um
       fortzusetzen fals tasks suspended sind
595
            if (!tasksRunning) {
596
                ulTaskNotifyTake(pdTRUE, portMAX_DELAY);
597
            }
598
599
600
            // Warte um Messwert vom measureTask zu erhalten
            if (xQueueReceive(sensorQueue, &receivedValue,
601
       xTimeout) == pdPASS) {
602
                // PWM um Finger zu schließen
603
                REG_TCCO_CC3 = (239999 * 18) / 100;
604
                isFingerOpened = false; // Set duty cycle auf
605
         13%
606
                //Serial.println("schließen...");
607
608
                digitalWrite(PWM_MEASURE_PIN,1); //Measure
609
         Output
610
611
            }
612
            else if (!isFingerOpened) //wird nur ausgeführt
613
       nachdem der Finger geschlossen wurde
614
              digitalWrite(PWM_MEASURE_PIN,0);
615
```

```
616
617
                  REG_TCCO_CC3 = (239999 * 13) / 100;
618
619
                  //Serial.println("Öffnen...");
620
                  vTaskDelay(pdMS_T0_TICKS(20)); //Delay im
621
          Finger öffnen zu lassen
622
623
624
625
                 // PWM-Signal ausschalten
                 REG\_TCC0\_CC3 = 0;
626
627
                 Serial.println("Finger im Ruhezustand (PWM
         0).");
628
629
                  isFingerOpened = true;
630
631
                  digitalWrite(PWM_MEASURE_PIN,1); //Measure
          Output
            }
632
633
        }
634
635 }
636
637
638
639
640
641
```

```
1 //Kapitel 3.2 Schwellenwert Methode
2 //Finger Aktuierung Methode über gleitenden Mittelwert
3 #include <FreeRTOS SAMD21.h>
4 // Include FreeRTOS library
5
6 #include <Arduino.h>
7 #include <Wire.h> // Definitionen laden fuer I2C
8 #include <SPI.h>
9 #include <avr/pgmspace.h> // weitere Definitionen
10
11
12
13 //Setup für Brick'N'Knowledge System Literaturverweis [16]
14
15 #ifdef ARDUINO_SAMD_MKRWIFI1010
16 #define __AVR_SAMD21__
17
18 #endif
19
20
21 // Alle Adressen bei den 8574xx bricks:
22 #define i2cI09534 0 (0×40>>1) // Trick um elegant mit Bytes
23 #define i2cI09534_1 (0x42>>1) // zu arbeiten statt in 7 Bit
24 #define i2cI09534_2 (0x44>>1) // das letzte Bit ist das R/W
25 #define i2cI09534_3 (0x46>>1) // dass von der Arduino
26 #define i2cI09534_4 (0x48>>1) // Bibliothek dazugefuegt wird
27 #define i2cI09534_5 (0x4A>>1) // wir definieren hier alle
28 #define i2cI09534_6 (0x4C>>1) // Bereiche die man mit den
29 #define i2cI09534_7 (0x4E>>1) // Bricks einstellen kann,.
30
31 #define i2cI09534A_0 (0x70>>1) // Die Serie PCF8474AT
32 #define i2cI09534A_1 (0x72>>1) // beginnt bei Adresse
33 #define i2cI09534A 2 (0x74>>1) // 0x70 = 70 sedezimal
34 #define i2cI09534A_3 (0x76>>1) // 01110000 binaer
35 #define i2cI09534A_4 (0x78>>1) // oder intern 0111000
36 #define i2cI09534A 5 (0x7A>>1) // dabei 0111xxx
37 #define i2cI09534A_6 (0x7C>>1) // mit x fuer die
```

```
38 #define i2cI09534A_7 (0x7E>>1) // Dilschalterposition
39
40 #define myi2cIOadr i2cIO9534_0 // HIER PASSENDE ADRESSE
  EINTRAGEN
41
42 #define SSPB 10 // Pin 10 = SS - --- PB2 1<<2 als Maske
43
44 // SPI: SCLK MOSI MISO und SS Brick=PB2 D10 fest !!
45 // MEGA Pin 51=MOSI Pin 52=SCK und Pin50=MISO °!!!
46 // mega:
47 // NANO: MOSI:PB3 D11, MISO: PB4 D12, -SS:PB2:D10
48 // UNO: MOSI: PB3 D11, MISO: PB4 D12, -SS:PB2:D10
49 // ACHUNG: MISO ist auch STatus DATA READY !!!
50 //
51 // PORTB 4 (7 6 5 4 -- 3 2 1 0)
52 // BEI MKR PD6
53
54 #if defined(__AVR_ATmega2560__) // Arduino MEGA2560
55 #define MISOPIN 50
56 #warning ("INFO : compiles for AT MEGA2560")
57 #elif defined(__AVR_SAMD21__)
58 #warning ("INFO : compiles for MKR WIFI1010")
59 #define MISOPIN 2 // READ ONLY MKR ueber Diode...
60 #else // NANO
61 #warning ("INFO : compiles rest: also NANO...")
62 #define MISOPIN 12
63 #endif
64
65 // #define MISOPIN 50
66
67 void enabless()
68 {
    //digitalWrite(SSPB, LOW);
69
70
    #if defined(__AVR_SAMD21__)
71
      digitalWrite(7, LOW);
72
     PORTB &= 0xfb; // Default = high 7 6 5 4 3 2low 1 0 PB2
73
```

```
low
74
     #endif
     delayMicroseconds(10);
75
76 }
77 void disabless()
78 {
79
     delayMicroseconds(10);
     #if defined(__AVR_SAMD21__)
80
       digitalWrite(7, HIGH);
81
82
     #else
       PORTB |= 1 << 2; // Default = high bit2 PB2
83
     #endif
84
     // digitalWrite(SSPB, HIGH);
86
     delayMicroseconds(10);
     //
87
88 }
89
90 //AD 7177-x
91 // Register
92 // SS:----___
93
94 //
95 unsigned short ad71_readid()
96 {
     unsigned char ch1;
97
     unsigned short val1=0;
     enabless();
99
     ch1 = SPI.transfer(0x47); // COmm: -wen r-w ra5...9 r-1=1
100
    read 0=writ
     val1 = SPI.transfer16(0); // ID
101
102
     disabless();
     return(val1);
103
104 }
105
106 //
107
108 //
```

```
109 #define NOCHAN 1
110
111 void ad71 init()
112 {
113
      enabless();
114
      // Register setzen...
      SPI.transfer(0x01); SPI.transfer16(0x800C); //
115
    ADCMODE! ref en, mode continouus, clock Crystal: 100 00
     000 0 000 11 00
116
      SPI.transfer(0x02); SPI.transfer16(0x0442); //
     INTERFACE MOD data_stat(6)en w32 en --- 000 0 0 10 0
          0 0 00 1 0 old 0x0042
      SPI.transfer(0 \times 06); SPI.transfer16(0 \times 060d); // GPIO 000
117
    0 0 11 0 0 0 00 1101
      // Channel 0
118
119
      SPI.transfer(0 \times 10); SPI.transfer16(0 \times 8001); // CH0
    enable set0 ain0 ain1 ... 10 00 00 00 000 0 0001
      // Channel 1
120
121
      SPI.transfer(0x11); SPI.transfer16(0x0043); // CH1
    enable set0 ain2 ain3 ... 10 00 00 00 010 0 0011
122
      // Channel 2
123
      SPI.transfer(0x12); SPI.transfer16(0x0096); // CH2
    enable set0 ain4 ref- ... 10 00 00 00 100 1 0110
      // Channel 3 optional
124
      SPI.transfer(0x13); SPI.transfer16(0x0232); // CH3
125
    enable set0 smp+ tmp- ... 10 00 00 10 001 1 0010
      // alle gleiches setup daher setup 0
126
      // SETup registers.
127
      SPI transfer(0x20); SPI transfer16(0x1300); // SET0:
128
    000 1 0 0 1 1 0 0 00 0000
      SPI.transfer(0x21); SPI.transfer16(0x1300); // SET1:
129
    000 1 0 0 1 1 0 0 00 0000
      SPI.transfer(0x22); SPI.transfer16(0x1300); // SET2:
130
     000 1 0 0 1 1 0 0 00 0000
      SPI.transfer(0x23); SPI.transfer16(0x1300); // SET3:
131
    000 1 0 0 1 1 0 0 00 0000
      // Filter Config gehoeren zu setup reg
132
```

```
SPI.transfer(0x28); SPI.transfer16(0x050e); // FLT0 : 0
133
     000 0 101
                 x 00 0 1010 sps (00111 10k 01000 5k...)
       SPI.transfer(0 \times 29); SPI.transfer16(0 \times 050a); // FLT1 : 0
134
     000 0 101 x 00 0 1010 sps (00111 10k 01000 5k...)
      SPI.transfer(0x2A); SPI.transfer16(0x050a); // FLT2: 0
135
     000 0 101
                 x 00 0 1010 sps (00111 10k 01000 5k...)
      SPI.transfer(0x2B); SPI.transfer16(0x050a); // FLT3 : 0
136
     000 0 101 x 00 0 1010 sps (00111 10k 01000 5k...)
      // OFFSET und GAIN auf factory lassen...
137
138
      disabless();
139
140 }
141
142 unsigned long values[4];
143
144
145
146
147 void ad71_reset()
148 {
149
     enabless();
     SPI.transfer(0xff);
150
151
     SPI.transfer(0xff);
     SPI.transfer(0xff);
152
     SPI.transfer(0xff);
153
     SPI.transfer(0xff);
154
     SPI transfer(0xff);
155
     SPI.transfer(0xff);
156
     SPI.transfer(0xff);
157
     disabless();
158
     delayMicroseconds(550);
159
160 }
161
162
163 void ad71_dataread()
164 {
     // Wenn ready incl status 4 byts 32 bit
165
```

```
// STATUS
166
     unsigned char sts;
167
      unsigned char ch1;
168
169
     unsigned long val1=0;
     unsigned long val2=0;
170
      unsigned int idx;
171
      static int first = 0;
172
      int val=0;
173
      int i=0;
174
175
      for (i=0; i<NOCHAN;i++) {
        // SYNC:
176
177
        // NICHT RDY Abfragen,,,
178
     #ifdef XXXXXX
179
        enabless();
        do {
180
181
182
          sts = SPI_transfer(0x40);
183
          sts = SPI_transfer(0x00);
184
           delayMicroseconds(10);
185
           // Serial.print(sts);
186
           // Serial.println("S wt:");
187
        } while (((sts & 0 \times 80)== 0 \times 80) && (first == 1));
188
189
        first = 1;
        disabless();
190
191 #endif
192
        // DATA RDY
193
        delayMicroseconds(10);
194
195
        //
        enabless();
196
        delayMicroseconds(4); // DRDY valid...
197
        // SINGLE MODE SPI.transfer(0x01);
198
     SPI.transfer16(0x801C); // ADCMODE ! ref en, mode SINGLE,
     clock Crystal: 100 00 000 0 000 11 00
199
        // Sonst abfragen hier immer...
200
```

```
do {
201
202
          val = digitalRead(MISOPIN); // MISOPIN
        } while (val == HIGH);
203
204
205
        //
        ch1 = SPI.transfer(0x44); // COmm: data read
206
207
208
        //
        val1 = SPI.transfer16(0); // data <</pre>
209
210
        val2 = SPI.transfer16(0); // data
211
        //
212
213
        //
214
        delayMicroseconds(5); // DRDY valid...
215
        disabless();
216
        //
217
        val1 = val2 | (val1 << 16); // 4 bit status</pre>
218
        idx = val2 \& 0x3; // CHANNEL FLG bit 3210
        values[idx] = val1 & 0xfffffff0;
219
220
221
      }
222 }
223
224 //Setup Brick'N'Knowledge end
225
226
227
228
229 //Pin Number Defines
230 #define BUTTON_PIN 5
231 #define LED_PIN 6
232 #define PWM_PIN 7
233 #define SENSOR_PIN A0
234
235 //Measure pins
236 #define SENSOR_MEASURE_PIN 0
237 #define PWM_MEASURE_PIN 1
```

```
238 #define ISR_MEASURE_PIN 3
239 #define HANDLER_MEASURE_PIN 4
240 //#define LED_MEASURE_PIN 5
241
242
243 #define STACK_SIZE 256
244 #define VREF 2.5 // Reference voltage in volts
245
246 #define DEBOUNCE_DELAY 1000 // 1000 ms debounce delay to
   reduce button bounce
247 volatile unsigned long lastDebounceTime = 0;
249 // Global state variable um task ON/OFF-Modus zu prüfen
250 volatile bool tasksRunning = true;
251
252 // Task handles
253 TaskHandle_t interrupt_LEDHandle;
254 TaskHandle_t ReadEMGHandle;
255 TaskHandle t pwmTaskHandle;
256 TaskHandle_t handlerTaskHandle;
257
258
259
260 // Queue um Daten zwischen tasks zu senden
261 QueueHandle_t sensorQueue;
262 volatile BaseType_t xShouldSuspend = pdFALSE;
263 volatile BaseType_t xShouldResume = pdFALSE;
264
265 // Semaphore handle
266 SemaphoreHandle_t taskControlSemaphore;
267
268 // Prototypen der Task-Funktionen
269 void buttonISR(); //ISR Triggered durch Button Press
270 void vHandlerTask(void *pvParameters); //Handler nach ISR
271 void vTaskReadEMG(void *pvParameters); // Liest Value des
272 void vControl_LED(void *pvParameters); //LED für visuellen
```

```
Feedback on Mode Switch ON/OFF
273 void vPWMTask(void *pvParameters); // PWM erhält wert von
   ReadEMG
274
275
276
277 void setup() {
278
     // Setze die Pins auf Output
279
280
       // Set up button pin
281
        pinMode(BUTTON_PIN, INPUT_PULLUP);
282
283
       //Set up measure Ppns
284
        pinMode(ISR_MEASURE_PIN, OUTPUT);
        //pinMode(LED_MEASURE_PIN, OUTPUT);
285
286
        pinMode(PWM MEASURE PIN, OUTPUT);
287
        pinMode(HANDLER_MEASURE_PIN, OUTPUT);
        pinMode(SENSOR_MEASURE_PIN, OUTPUT);
288
289
        pinMode(PWM_PIN, OUTPUT);
290
291
         delay(100);
292
293
     while (!Serial); //Wait for Serial for proper Sync
294
295 // put your setup code here, to run once:
     Serial begin(115200);
296
     Serial.println("Starting EEG:");
297
298
     #if defined(__AVR_SAMD21__)
299
      pinMode(MISOPIN, INPUT); // MISO !!
300
301
      pinMode(7, OUTPUT);
     #else
302
303
      pinMode(12, INPUT); // MISO !!
304
      pinMode(SSPB, OUTPUT);
305
     #endif
     disabless();
306
307
```

```
308
309
310
     Wire begin(); // I2C aktivieren !
     Wire.beginTransmission(myi2cIOadr);// Startvorgang I2C
311
    Adresse
     Wire.write(0x03); // IO Ports auf 01010101 abwechseln
312
     Wire.write(0xF0); // 1=input
313
     Wire.endTransmission(); // Stop Kondition setzen bei I2C
314
     Wire.beginTransmission(myi2cI0adr);// Startvorgang I2C
315
    Adresse
     Wire.write(0x01); // IO Ports auf 01010101 abwechseln
316
     Wire write(0x0f); // led an !!
317
     Wire.endTransmission(); // Stop Kondition setzen bei I2C
318
319
     // INIT
     SPI.begin();
320
321
     SPI.beginTransaction(SPISettings(7000000, MSBFIRST,
    SPI_MODE3));
     // NICHT VERWENDEN:
322
323
     //SPI.setDataMode(SPI MODE3); // sonst immer 1
                                                           clk
                   rising edhe = spi mode 3 krit mkr'
324
     //SPI.setClockDivider(8);
325
326
     Serial.println("Searching EEG:");
327
     unsigned short id=ad71_readid(); // 0x4fdx
328
     while ((id & 0xfff0)!= 0x4fd0) {
329
        Serial print("ERROR id=");Serial print(id);
330
        Serial.println(" EEG Brick not found");
331
        Wire.beginTransmission(myi2cIOadr);// Startvorgang I2C
332
        Wire write(0x01); // IO Ports auf 01010101 abwechseln
333
        Wire.write(0x07); // led an !!
334
335
        Wire.endTransmission(); // Stop Kondition setzen bei
     I2C
336
        delay(100);
        Wire.beginTransmission(myi2cIOadr);// Startvorgang I2C
337
     Adresse
```

```
Wire.write(0x01); // IO Ports auf 01010101 abwechseln
338
        Wire write(0x0f); // led an !!
339
        Wire.endTransmission(); // Stop Kondition setzen bei
340
     I2C
         delay(100);
341
         id=ad71_readid(); // 0x4fdx
342
     }
343
344
     Serial print("id=");Serial println(id);
345
346
     // OK Init dr Register
     ad71_reset();
347
     ad71_init();
348
349
350
      //Queue für Datentransfer
351
        sensorQueue = xQueueCreate(10, sizeof(int));
352
        if (sensorQueue == NULL) {
353
            Serial.println("Queue creation failed!");
354
           while (1); // Stop here if queue creation failed
355
       }
356
357
       // Initialize the semaphore
        taskControlSemaphore = xSemaphoreCreateBinary();
358
359
360
    //PWM Set-up Literaturverweis [24]
361
        REG_GCLK_GENDIV = GCLK_GENDIV_DIV(1) |
362
     Divide the 48MHz clock source by divisor 1: 48MHz/1=48MHz
                        GCLK_GENDIV_ID(4);
                                                       // Select
363
            Generic Clock (GCLK) 4
     while (GCLK->STATUS.bit.SYNCBUSY);
                                                       // Wait
364
    for synchronization
365
     REG_GCLK_GENCTRL = GCLK_GENCTRL_IDC |
                                                      // Set
366
    the duty cycle to 50/50 HIGH/LOW
                         GCLK_GENCTRL_GENEN |
                                                       // Enable
367
             GCLK4
                         GCLK_GENCTRL_SRC_DFLL48M |
368
                                                       // Set
```

```
the 48MHz clock source
369
                         GCLK_GENCTRL_ID(4);
                                                    // Select
            GCLK4
370
     while (GCLK->STATUS bit SYNCBUSY);
                                                     // Wait
    for synchronization
371
     // Enable the port multiplexer for the digital pin D7
372
     PORT-
373
    >Group[g_APinDescription[7].ulPort].PINCFG[g_APinDescriptio
    n[7].ulPin].bit.PMUXEN = 1;
374
375
376
   // Connect the TCC0 timer to digital output D7 - port
    pins are paired odd PMUO and even PMUXE
     // F & E specify the timers: TCC0, TCC1 and TCC2
377
378
     PORT-
    >Group[g_APinDescription[6].ulPort].PMUX[g_APinDescription[
    6] ulPin >> 1] reg = PORT_PMUX_PMUXO_F;
379
380
     // Feed GCLK4 to TCC0 and TCC1
381
     REG_GCLK_CLKCTRL = GCLK_CLKCTRL_CLKEN |
                                              // Enable
    GCLK4 to TCC0 and TCC1
382
                         GCLK_CLKCTRL_GEN_GCLK4 |
                                                     // Select
            GCLK4
                         GCLK_CLKCTRL_ID_TCC0_TCC1;
383
                                                     // Feed
            GCLK4 to TCC0 and TCC1
     while (GCLK->STATUS.bit.SYNCBUSY);
                                                      // Wait
384
    for synchronization
385
     // Dual slope PWM operation: timers countinuously count
386
    up to PER register value then down 0
     REG_TCC0_WAVE |= TCC_WAVE_POL(0xF) |
387
                                                  // Reverse
    the output polarity on all TCC0 outputs
                       TCC_WAVE_WAVEGEN_DSBOTH; // Setup
388
            dual slope PWM on TCC0
     while (TCC0->SYNCBUSY.bit.WAVE);
389
                                                    // Wait
    for synchronization
```

```
390
391
     // Each timer counts up to a maximum or TOP value set by
    the PER register,
392
   // this determines the frequency of the PWM operation:
     REG_TCCO_PER = 239999;
                                 // Set the frequency of
393
    the PWM on TCC0 to 250kHz
    while (TCC0->SYNCBUSY.bit.PER);
                                                  // Wait
394
    for synchronization
395
396
    // Set the PWM signal to output 50% duty cycle
     397
    on D7
398
     while (TCC0->SYNCBUSY.bit.CC3);
                                                  // Wait
    for synchronization
399
400
                                                   // TCC0
401
      REG_TCCO_CC3 = (239999 * 13) / 100;
    CC1 - 17% duty cycle on D5
402
     while (TCC0->SYNCBUSY.bit.CC3);
403
     // Divide the 48MHz signal by 1 giving 48MHz (20.83ns)
    TCC0 timer tick and enable the outputs
     REG TCC0 CTRLA |= TCC CTRLA PRESCALER DIV1 | // Divide
404
    GCLK4 by 1
405
                      TCC_CTRLA_ENABLE;
                                          // Enable
           the TCC0 output
     while (TCC0->SYNCBUSY.bit.ENABLE);
406
                                                   // Wait
    for synchronization
407
     //Code Source https://forum.arduino.cc/t/changing-arduino-
408
    zero-pwm-frequency/334231/3
409
410
411
     // Erstelle die FreeRTOS Tasks
412
     xTaskCreate(vTaskReadEMG, "ReadEMG", STACK_SIZE, NULL, 3,
413
    &ReadEMGHandle);
     xTaskCreate(vPWMTask, "pwmTask", STACK_SIZE, NULL, 2,
414
```

```
&pwmTaskHandle);
     xTaskCreate(vControl_LED, "interrupt_LED", STACK_SIZE,
415
    NULL, 1, &interrupt_LEDHandle);
     xTaskCreate(vHandlerTask, "HandlerTask", STACK_SIZE,
416
    NULL, 4, &handlerTaskHandle);
     xTaskCreate(vIdleTask, "Idle Task", STACK_SIZE, NULL, 0,
417
    NULL);
418
419
420
     //ISR when Button is Triggered
     attachInterrupt(digitalPinToInterrupt(BUTTON_PIN),
421
    buttonISR, FALLING);
422
423
     // Starte den Scheduler
     vTaskStartScheduler();
424
425 }
426
427 void loop() {
     // loop bleibt leer, da FreeRTOS den Scheduler benutzt
429 }
430
431
432
433
434 void vTaskReadEMG(void *pvParameters) {
        float offset = 0.0f; // Dynamischer Offset
435
        const float threshold = 0.05f; // Schwellenwert in mV
436
        const int filterSize = 10; // Größe des gleitenden
437
     Mittelwerts
       float offsetBuffer[filterSize] = {0.0f}; // Puffer für
438
     den gleitenden Mittelwert
        int filterIndex = 0; // Index für den Ringpuffer
439
        float movingAverage = 0.0f; // Gleitender Mittelwert
440
441
       TickType_t xLastWakeTime;
442
443
        float sensorValue = 0;
        float voltage1 = 0.0f;
444
```

```
445
        xLastWakeTime = xTaskGetTickCount();
        long v1 = 0;
446
447
        float delta = 0.0f;
        int counter = 0;
448
449
        for (;;) {
450
            // Warten, falls Tasks pausiert sind
451
            if (!tasksRunning) {
452
                ulTaskNotifyTake(pdTRUE, portMAX_DELAY);
453
454
                xLastWakeTime = xTaskGetTickCount(); //
         Rücksetzen von TickCount
            }
455
456
            // EMG-Daten einlesen
457
            ad71_dataread();
458
459
            v1 = values[0] - 0x8000000001; // Anpassung für
       Zweierkomplement
            voltage1 = ((float)v1 / (float)(0x80000000) * VREF)
460
       * 1000; // Skalierung auf mV
461
462
            // Offset kontinuierlich anpassen
            offset == offsetBuffer[filterIndex] /
463
       filterSize; // Alten Wert entfernen
            offsetBuffer[filterIndex] = voltage1; // Neuen Wert
464
       hinzufügen
            offset += voltage1 / filterSize; // Neuen Wert zum
465
       Offset hinzufügen
            filterIndex = (filterIndex + 1) % filterSize; //
466
       Index rotieren
467
            // Differenz zwischen gemessenem Wert und Offset
468
            delta = voltage1 - offset;
469
470
            // Vergleich mit Schwellenwert<
471
            if (fabs(delta) > threshold) {
472
                sensorValue = delta;
473
474
```

```
475
                xQueueSend(sensorQueue, &sensorValue, 10);
            }
476
477
            //Debug-Ausgaben
478
            if (counter == 20) {
479
                 Serial.println("Measure Task");
480
                Serial.print("CH0 Voltage: ");
481
         Serial.print(voltage1, 6); Serial.println("mV ");
                Serial.print("Offset: ");
482
         Serial.println(offset, 6);
                Serial.print("Delta (Voltage - Offset): ");
483
         Serial.println(delta, 6);
484
                counter = 0;
485
486
            counter++;
487
488
            digitalWrite(SENSOR_MEASURE_PIN, 0); // Output
       toggeln
489
            vTaskDelayUntil(&xLastWakeTime,
       pdMS_T0_TICKS(20)); // Verzögerung
490
491 }
492
493
      void vPWMTask(void *pvParameters) {
        float receivedValue;
494
        TickType_t xLastWakeTime = xTaskGetTickCount();
495
        const TickType_t xTimeout = pdMS_T0_TICKS(300); //
496
     Delay um auf die zu warten Queue
        bool tasksRunning = true;
497
        bool isFingerOpened = false;
498
499
       for (;;) {
500
501
502
503
            // Warte auf notification vom handlerTask to um
504
       fortzusetzen fals tasks suspended sind
```

```
if (!tasksRunning) {
505
                ulTaskNotifyTake(pdTRUE, portMAX_DELAY);
506
507
            }
508
509
            // Warte um Messwert vom measureTask zu erhalten
510
            if (xQueueReceive(sensorQueue, &receivedValue,
511
       xTimeout) == pdPASS) {
512
513
                if (fabs(receivedValue) > 0.1)
514
                 // PWM um Finger zu schließen
515
516
                REG_TCCO_CC3 = (239999 * 18) / 100;
517
                isFingerOpened = false; // Set duty cycle to
         13%
518
                }
                /*
519
520
                else if (receivedValue > 0.1)
521
522
               // PWM um Finger zu schließen
                REG_TCCO_CC3 = (239999 * 17) / 100;
523
                isFingerOpened = false; // Set duty cycle to
524
         13%
525
                }
                */
526
527
                   else if (fabs(receivedValue) > 0.15)
528
                {
529
530
              // PWM um Finger zu schließen
531
                REG_TCCO_CC3 = (239999 * 16) / 100;
532
                isFingerOpened = false; // Set duty cycle to
533
         13%
                }
534
535
                else if (fabs(receivedValue) > 0.07)
536
537
```

```
538
               // PWM um Finger zu schließen
539
                REG_TCCO_CC3 = (239999 * 15) / 100;
                isFingerOpened = false; // Set duty cycle to
540
         15%
                }
541
542
                 else if (fabs(receivedValue) > 0.05)
543
                {
544
545
                // PWM um Finger zu schließen
546
                REG_TCCO_CC3 = (239999 * 14) / 100;
                isFingerOpened = false; // Set duty cycle to
547
         14%
548
                }
549
                //Serial.println("Closing...");
550
551
552
553
554
            }
555
            else if (!isFingerOpened) //wird nur ausgeführt
       nachdem der Finger geschlossen wurde
            {
556
557
558
559
                 REG_TCCO_CC3 = (239999 * 13) / 100;
560
                 //Serial.println("Öffnen...");
561
562
                 vTaskDelay(pdMS_TO_TICKS(20)); //Delay im
563
         Finger öffnen zu lassen
564
565
566
                   // PWM-Signal ausschalten
567
568
                REG\_TCCO\_CC3 = 0;
                Serial.println("Finger at rest (PWM 0).");
569
570
```

```
571
                  isFingerOpened = true;
572
573
            }
574
575
        }
576
577 }
578
579
580
581 // ISR die die Semaphore an den handlerTask übergibt
582 void buttonISR() {
583
        digitalWrite(ISR_MEASURE_PIN,1);
584
585
        unsigned long currentTime = millis();
586
        if ((currentTime - lastDebounceTime) > DEBOUNCE DELAY) {
587
588
            lastDebounceTime =
       currentTime;
                                                   // Update last
       debounce time
589
        BaseType_t xHigherPriorityTaskWoken = pdFALSE;
590
        xSemaphoreGiveFromISR(taskControlSemaphore,
591
     &xHigherPriorityTaskWoken);
        portYIELD_FROM_ISR(xHigherPriorityTaskWoken);
592
593
594
        }
595
        digitalWrite(ISR_MEASURE_PIN,0);
596
597
598
599 }
600
601 // ISR Handler
602 void vHandlerTask(void *pvParameters) {
603
        for (;;) {
604
```

```
605
            // Warte auf Semaphore von ISR
606
            if (xSemaphoreTake(taskControlSemaphore,
607
       portMAX_DELAY) == pdTRUE) {
                digitalWrite(HANDLER_MEASURE_PIN, 1);
608
                tasksRunning = !tasksRunning;
609
610
                if (tasksRunning) {
611
                     Serial.println("Resuming tasks...");
612
613
                xTaskNotifyGive(ReadEMGHandle);
                xTaskNotifyGive(pwmTaskHandle);
614
615
                 digitalWrite(HANDLER_MEASURE_PIN, 0);
616
                }
617
                else
618
619
                {
620
                     Serial.println("Suspending tasks...");
621
622
                     digitalWrite(HANDLER_MEASURE_PIN, 0);
623
624
                }
625
626
627
            }
628
629
630
        }
631
632 }
633
634 void vControl_LED(void *pvParameters) {
635
636 int32_t receivedValue;
637 TickType_t xLastWakeTime;
638 const TickType_t xTimeout = pdMS_T0_TICKS(300);
639 // Initialisiere den letzten Aufrufzeitpunkt
640 xLastWakeTime = xTaskGetTickCount();
```

```
641 for(;;){
642
    //digitalWrite(LED_MEASURE_PIN,1);
643
644
645
646
647 if (tasksRunning == false )
648 {
     digitalWrite(LED_PIN, digitalRead(LED_PIN)^ 1);
649
650
      vTaskDelayUntil(&xLastWakeTime, pdMS_TO_TICKS(100));
651
     //digitalWrite(LED_MEASURE_PIN,0);
652
653 }
654 else if (tasksRunning == true)
655 {
        digitalWrite(LED_PIN, digitalRead(LED_PIN)^ 1);
656
657
        vTaskDelayUntil(&xLastWakeTime, pdMS_T0_TICKS(1000));
658
659
      // digitalWrite(LED_MEASURE_PIN,0);
660 }
661
662
    }
663
664
665 }
666
667
668
669
```